



## I balnea presso il sito romano e tardoantico.

This is the peer reviewed version of the following article:

*Original:*

Campana, S., Vaccaro, E., Buonopane, A. (2019). I balnea presso il sito romano e tardoantico.. In Le terme pubbliche nell'Italia romana (II secolo a.C. - fine IV d.C.). Architettura, tecnologia e società (pp.366-388).

*Availability:*

This version is available <http://hdl.handle.net/11365/1111676> since 2020-06-22T09:47:14Z

*Terms of use:*

Open Access

The terms and conditions for the reuse of this version of the manuscript are specified in the publishing policy. Works made available under a Creative Commons license can be used according to the terms and conditions of said license.

For all terms of use and more information see the publisher's website.

(Article begins on next page)

6 | collana  
Patrimonio Culturale e Territorio

Università degli Studi Roma Tre - Dipartimento di Studi Umanistici (DSU)  
Escuela Española de Historia y Arqueología en Roma (EEHAR- CSIC)  
University of Oxford  
British School at Rome (BSR)

**LE TERME PUBBLICHE NELL'ITALIA ROMANA**  
(II secolo a.C. – fine IV d.C.)  
ARCHITETTURA, TECNOLOGIA E SOCIETÀ

Seminario Internazionale di Studio  
Roma, 4-5 ottobre 2018

a cura di Maura Medri e Antonio Pizzo



Università degli Studi Roma Tre - Dipartimento di Studi Umanistici (DSU)  
Escuela Española de Historia y Arqueología en Roma (EEHAR- CSIC)  
University of Oxford  
British School at Rome (BSR)

**LE TERME PUBBLICHE NELL'ITALIA ROMANA**  
**(II secolo a.C. – fine IV d.C.)**

**ARCHITETTURA, TECNOLOGIA E SOCIETÀ**

**Seminario Internazionale di Studio**  
Roma, 4-5 ottobre 2018

a cura di  
**Maura Medri e Antonio Pizzo**



*Roma Tre Press*

2019



#### **Comitato organizzativo**

Maura Medri, Antonio Pizzo, Janet DeLaine, Valeria Di Cola, Konogan Beaufay

#### **Comitato Scientifico**

Carla Maria Amici, Alain Bouet, Virginia García Entero, Francesca Ghedini, Xavier Lafon, Hubertus Manderscheid, Gregoire Poccardi, M. Pilar Reis, Rita Volpe

#### **Segreteria organizzativa**

Silvia Calvigioni

#### **Redazione dei testi**

Maura Medri e Antonio Pizzo

#### **Progetto grafico e cura redazionale**

Alessio Agresta

#### **Coordinamento editoriale**

Gruppo di lavoro *Roma TrE-Press*

Edizioni Roma TrE-Press©

Roma, dicembre 2019

ISBN 978-88-32136-86-9

<http://romatypress.uniroma3.it>



L'attività della *Roma TrE-Press* è svolta nell'ambito Fondazione Roma Tre-Education, piazza della Repubblica 10, 00185, Roma.

Quest'opera è assoggettata alla disciplina Creative Commons attribution 4.0 International Licence (CC BY-NC-ND 4.0) che impone l'attribuzione della paternità dell'opera, proibisce di alterarla, trasformarla o usarla per produrre un'altra opera, e ne esclude l'uso per ricavarne un profitto commerciale.

This work is licensed under the license Creative Commons Attribution-NonCommercial-NoDerivatives 4.0 International License. To view a copy of this license, visit <http://creativecommons.org/licenses/by-nc-nd/4.0>

In copertina: mosaico pavimentale da Sabratha, Archivio CeRAM (Centro di Ricerca per l'Archeologia del Mediterraneo) dell'Università di Palermo, per gentile concessione.

#### **collana**

#### ***Patrimonio culturale e territorio***

#### **Comitato scientifico**

Carlo Baggio  
Liliana Barroero  
Cudio Cerreti  
Claudio Facenna  
Luigi Franciosini  
Maurizio Gargano  
Guido Giordano  
Daniele Manacorda  
Maura Medri  
Anna Laura Palazzo  
Elisabetta Pallottino  
Riccardo Santangeli Valenzani  
Giovanna Spadafora

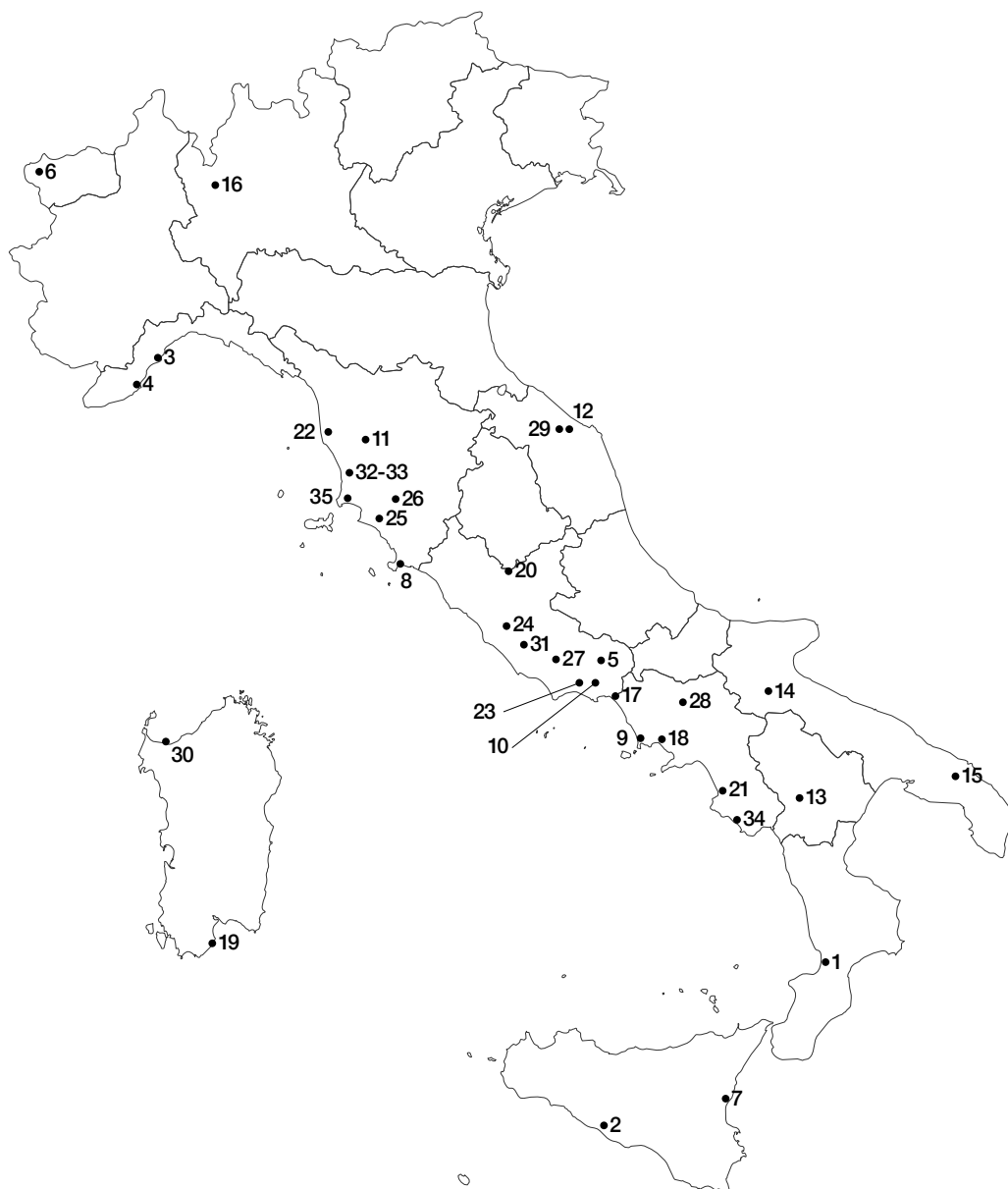
## Indice

- 9        **Presentazione**  
Konogan Beaufay, Janet DeLaine, Maura Medri, Antonio Pizzo
- Schede**
- 13        **1. Acconia di Curinga (Catanzaro)**  
**Dal tempio di Castore e Polluce a Terme: il caso dell'impianto termale di Acconia di Curinga**  
Mariangela Preta (MP), Stefania Mancuso (SM)
- 21        **2. Agrigentum (Agrigento)**  
**L'impianto termale**  
Valentina Caminneci (VC), Maria Concetta Parello (MCP)
- 33        **3. Albingaunum (Albenga, SV)**  
**Il complesso delle terme pubbliche**  
Marta Conventi (MC), Bruno Massabò (BM), Simon Luca Trigona (SLT)
- 49        **4. Albintimilium (Ventimiglia, IM)**  
**Una nuova ricostruzione dell'evoluzione del complesso delle terme di Ventimiglia alla luce della rilettura delle strutture in luce**  
Giorgio Baratti (GB), Ilaria Sanmartino (IS) Chiara Bozzi (CB) Paolo de Vingo (PdV)
- 67        **5. Aquinum (Castrocielo, FR)**  
**Le Terme Centrali o Vecciane**  
Giuseppe Ceraudo (GC)
- 81        **6. Augusta Praetoria (Aosta)**  
**Le terme del foro**  
Alessandra Armirotti (AA), Giordana Amabili (GA), Gwenaël Bertocco (GB), Maurizio Castoldi (MC), Lorenza Rizzo (LR)
- 97        **7. Catina (Catania)**  
**La Rotonda di Catania: terme pubbliche di età imperiale romana**  
Laura Manganelli (LM)
- 115       **8. Cosa (Ansedonia, GR)**  
**Il complesso termale**  
Andrea De Giorgi (ADG)
- 123       **9. Cumae (Pozzuoli, NA)**  
**Le terme del foro**  
Flavia Guardascione (FG)
- 137       **10. Fabrateria Nova (San Giovanni Incarico, FR)**  
**L'edificio termale**  
Adriana Valchera (AV), Veronica Ferrari (VF)
- 147       **11. Florentia (Firenze)**  
**Le terme di Piazza della Signoria**  
Monica Salvini (MS), Susanna Bianchi (SB), Michele Bueno (MB)
- 163       **12. Forum Sempronii (Fossombrone, PU)**  
**Le grandi terme**  
Oscar Mei (OM), Lorenzo Cariddi (LC), Filippo Venturini (FV), Laura Invernizzi (LI)
- 175       **13. Grumentum (Grumento Nova, PZ)**  
**Il complesso delle terme c.d. imperiali**  
Francesco Tarlano (FT), Maurizio Castoldi (MC), Fabio Donnici (FD)
- 189       **14. Herdonia (Ortona, FG)**  
**Le terme della Via Traiana**  
Danilo Leone (DL)
- 209       **15. Malvindi (Mesagne, BR)**  
**Le terme**  
Ivan Ferrari (IF)
- 223       **16. Mediolanum (Milano)**  
**Le Terme Erculee**  
Andrea Parodi (AP)

- 233 **17. Minturnae (Minturno, LT)**  
**Le terme**  
 Giovanna Rita Bellini (GRB), Marco Bianchini (MB)
- 245 **18. Napoli Fuorigrotta (Napoli)**  
**Le terme di via Terracina**  
 Marco Giglio (MG), Gianluca Soricelli (GS)
- 259 **19. Nora (Pula, CA)**  
**Le Terme Centrali**  
 Ilaria Frontori (IF)
- 267 **20. Otriculum (Otricoli, TR)**  
**Le terme**  
 Giacomo Antonelli (GA)
- 287 **21. Paestum (Capaccio-Paestum, SA)**  
**Le terme dei Venneiani**  
 Paolo Vitti (PV)
- 301 **22. Pisae (Pisa)**  
**Le terme di Nerone**  
 Fabio Fabiani (FF), Maria Letizia Gualandi (MLG), Antonio Campus (AC)
- 315 **23. Privernum (Priverno, LT)**  
**Le terme di età imperiale**  
 Carla Maria Amici (CMA), Margherita Cancellieri (MC)
- 331 **24. Roma, La Cecchina**  
**Le terme**  
 Federica Rinaldi (FR), Ascanio D'Andrea (AD), Fabrizio Vallelonga (FV)
- 351 **25. Rusellae (Grosseto)**  
**Le terme alle pendici della collina nord**  
 Mariagrazia Celuzza (MC), Maura Medri (MM)
- 367 **26. Santa Marta (Cinigiano, GR)**  
**I balnea presso il sito romano e tardoantico**  
 Stefano Campana (SC), Emanuele Vaccaro (EV), Alfredo Buonopane (AB)
- 389 **27. Signia, località Colle Noce (Segni, FR)**  
**Il complesso termale**  
 Francesco Maria Cifarelli (FMC), Federica Colaiacomo (FC), Piercarlo Innico (PI)
- 399 **28. Telesia (San Salvatore Telesino, BN)**  
**Le terme c.d. di Teseo**  
 S. Barranco Serrano (SBS), Luigi Pedroni (LP)
- 413 **29. Tifernum Mataurense (Sant'Angelo in Vado, PU)**  
**Le terme romane**  
 Emanuela Stortoni (ES)
- 435 **30. Turris Libisonis (Porto Torres, SS)**  
**Le terme Pallottino**  
 Gabriella Gasperetti (GG), Francesca Condò (FC)
- 445 **31. Tusculum (Frascati, RM)**  
**Le terme pubbliche**  
 Pilar Diarte-Blasco (PDB), Marta Pérez-Polo (MPP), Valeria Beolchini (VB) e Antonio Pizzo (AP)
- 457 **32. Vada Volaterrana (Rosignano Marittimo, LI)**  
**Le Grandi Terme**  
 Simonetta Menchelli (SM), Paolo Sangriso (PS)
- 467 **33. Vada Volaterrana (Rosignano Marittimo, LI)**  
**Le Piccole Terme**  
 Simonetta Menchelli (SM), Paolo Sangriso (PS)
- 481 **34. Velia (Ascea, SA)**  
**Le terme del quartiere meridionale**  
 Maria Tommasa Granese (MTG), Rosalba De Feo (RDF), Emmanuele Pontrandolfi (EP)
- 493 **35. Vignale (Piombino, LI)**  
**Le terme di una villa/mansio nel tempo, tra antichità e alto medioevo (?)**  
 Elisabetta Giorgi (EG), Enrico Zanini (EZ)

## Saggi

- 513 **Les thermes dans la compilation de Justinien**  
Jean Francois Brégi
- 521 **Le 35 terme Italiche: alcune osservazioni sulla tipologia**  
Maura Medri
- 535 **Tecnologia termale**  
Konogan Beaufay
- 545 **La vera storia delle terme romane. Da Roma al Giappone e ritorno**  
Giuseppe Pucci
- 549 **Final Evaluation of Results**  
Janet DeLaine







## Presentazione

Konogan Beaufay, Janet DeLaine, Maura Medri, Antonio Pizzo

In epoca romana la pratica della cura del corpo e dell'igiene personale era capillarmente diffusa in tutti gli strati sociali e svolta quotidianamente, come atto sociale e pubblico. Gli edifici preposti ad accogliere le funzioni balneari e quelle ad esse correlate, *thermae* e *balnea*, sono pertanto numerosissimi, molto più di qualsiasi altra tipologia di edificio pubblico poiché ogni città quasi sempre si dotava di più di un edificio termale per poter fare fronte alle necessità dei suoi abitanti. Le terme sono anche diffuse in un areale vastissimo, che praticamente coincide con quello della massima estensione dell'Impero Romano, poiché il modello italico, riproposto o imitato, venne esportato ovunque, nello schema della città romana che comprendeva infrastrutture, come acquedotti, fognature, fontane, strade e ponti, e vari altri edifici per lo svolgimento della vita sociale, politica e per lo svago, come piazze, fori, basiliche, teatri, anfiteatri e circhi. Le terme hanno così finito per essere un marcatore certo del fenomeno della romanizzazione e dell'adesione più o meno profonda dei popoli conquistati al modello della cultura egemone. Dal punto di vista archeologico, sono uno degli edifici più attestati e se ne conoscono centinaia di esemplari, tutti simili nella funzione e, quindi, riconoscibili per la presenza delle sale balneari disposte in sequenza, ma tutti diversi l'uno dall'altro, con una varietà di schemi planimetrici e di dimensioni che è veramente sorprendente. Il campo di studio è vastissimo non solo per la numerosità degli esemplari rinvenuti ma anche per le molteplici implicazioni di questa tematica che possono essere riassunti nei tre argomenti principali, cui fa riferimento il titolo del workshop: le architetture con le loro decorazioni, gli aspetti tecnologici collegati all'uso dell'acqua e agli impianti necessari per il riscaldamento, la vita sociale che ruotava intorno a questo nucleo aggregante della città romana.

Gli studi sul termalismo sono molto numerosi. Dopo le prime opere tese a organizzare la materia e a fornire uno *specimen* degli edifici presenti in Italia e nelle provincie (Nielsen 1990), sono stati fatti molti altri studi di carattere generale (si ricorda Yegül 1992) o su tematiche precise come lo studio della diffusione in rapporto alla cronologia e l'impatto sociale delle pratiche di balneazione, tema questo indagato prevalentemente sulla scorta dei dati epigrafici (Fagan 1999). Sin da subito, però, si era sentito il bisogno di un censimento generale dei dati editi (Manderscheid 1988, 2004) che potesse dare un quadro complessivo delle attestazioni, almeno dal punto di vista morfologico e cronologico. Negli ultimi venti anni, in particolare, la ricerca si è concentrata sul censimento e sulla classificazione degli edifici con due opere edite quasi contemporaneamente che trattano in modo sistematico una della Gallia narbonese (Bouet 2003) e l'altra delle provincie nord africane (Thébert 2003). Il quadro provinciale non è completo e ovunque mancano soprattutto opere monografiche che trattino esaustivamente di edifici singoli. Per la Spagna la situazione si è nettamente evoluta con il Convegno Internazionale «*Termas públicas de Hispania*» tenutosi a Murcia nel 2018 (Noguera Celdrán, García-Entero, Pavía Page c.s.) e con il lavoro fatto da Marta Pavía Page (2018) che comprende sia la pubblicazione definitiva delle Terme del Porto di Murcia che il catalogo completo degli edifici pubblici a oggi noti nella Hispania Citerior. Per l'Italia, tra le edizioni di singoli edifici si ricordano lo studio delle Terme di Caracalla di Janet DeLaine (1997) per quanto riguarda le grandi terme imperiali e lo studio delle Terme del Nuotatore in Ostia Antica edito dalla proponente (Medri, Di Cola 2013) per quanto riguarda le terme urbane di medie dimensioni. Per quanto riguarda gli argomenti termali esclusi dal workshop, la situazione degli studi sulla penisola italica è la seguente. Da poco è stata pubblicata un'ottima sintesi (Cura, preghiera, benessere 2014)

dei risultati conseguiti dal gruppo di ricerca dell'Università di Padova che ha accuratamente censito e studiato con taglio interdisciplinare le terme salutari, quelle cioè che già in antico sfruttavano la risorsa naturale costituita dalle acque termominerali, presente in grande abbondanza sul territorio. La situazione particolare di Pompei, Ostia e Roma è molto studiata, in quanto questi sono casi particolari in cui i dati sono molto ricchi e offrono la possibilità di studi di contesto (tra le opere più recenti, si segnalano l'edizione delle Terme Suburbane di Pompei, Manderscheid 2009, la recentissima revisione delle fasi delle Terme Stabiane, Trümper 2017, due tesi dottorali in corso di edizione, Poccardi 2005-2006, Foulché 2011).

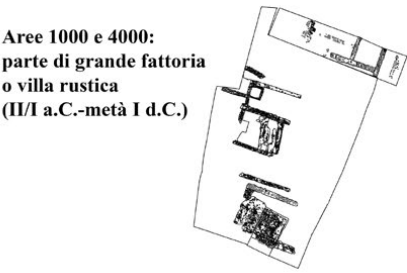
Il workshop tenutosi il 4 – 5 ottobre 2018 ha in parte consentito di colmare la lacuna degli studi sulla penisola italica. Hanno partecipato al workshop 76 relatori che hanno presentato 35 edifici termali di carattere pubblico, in contesto urbano e extra-urbano. Il campione raccolto pur essendo lacunoso dal punto di vista regionale, offre comunque una panoramica abbastanza completa e soprattutto quasi del tutto inedita. Le regioni maggiormente rappresentate sono quelle dell'Italia centro – meridionale, con alcuni esempi nelle isole. Le cronologie di costruzione degli edifici vanno dall'epoca tardo repubblicana fino al IV secolo d.C., confermando una volta in più che il fenomeno del termalismo è di lunga durata e non conosce declino almeno fino al V-VI secolo d.C.

KB, JD, MM, AP

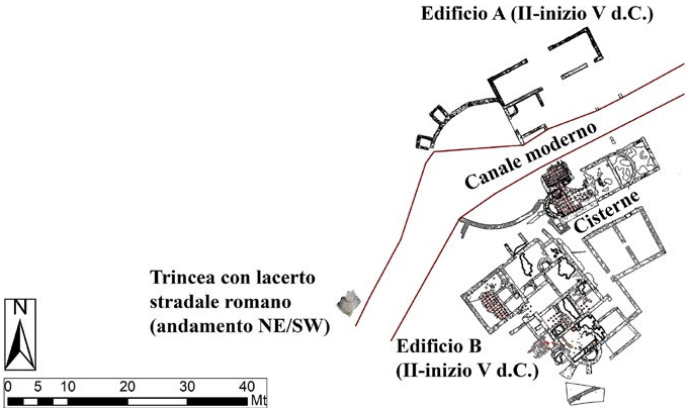
### Bibliografia citata

- Bouet A. 2003, *Les thermes privés et publics en Gaule Narbonnaise*, MelEcoFRom, CEEFR, 320, Rome.
- Cura, preghiera e benessere 2014, Annibaletto M., Bassani M., Ghedini F. (a cura di), *Cura, preghiera e benessere : le stazioni curative termominerali nell'Italia romana*, Padova.
- De Laine J. 1997, *The Baths of Caracalla. A study in the design, construction, and economics of large-scale building projects in imperial Rome*, JRA supp. 25, Portsmouth.
- Fagan G. G. 1999, *Bathing in Public in the Roman World*, The University of Michigan Press, Ann Arbor.
- Foulché A.L. 2011, *Le paysage balnéaire de Rome dans l'Antiquité: aspects topographiques, juridiques et sociaux*, Thèse de Doctorat, Université de Grenoble.
- Manderscheid H. 1988, *Bibliographie zum römischen Badewesen, unter besonderer Berücksichtigung der öffentlichen Thermen*, München.
- Manderscheid H. 2004, *Ancient baths and bathing: a bibliography for the years 1988-2001*, Portsmouth, RI, Journal of Roman Archaeology, Supplementary Series, 55.
- Manderscheid H. 2009, *Dulcissima aequora, Wasserbewirtschaftung und Hydrotechnik der Terme Suburbane in Pompeii*, BaBesch, supp. 13.
- Medri M., Di Cola V. 2013, *Ostia V. Le Terme del Nuotatore. Cronologia di un'insula ostiense*, Studi Miscellanei 36, Roma.
- Nielsen I. 1990, *Thermae et Balnea. The Architecture and Cultural History of Roman Public Baths*, Aarhus.
- Noguera Celdrán J.M., García-Entero V., Pavia Page M. (edd.), *Termas públicas de Hispania, Congreso Internacional*, Murcia, 19-21 abril 2018, c.s.
- Pavia Page M. 2018, *Thermae Hispaniae Citerioris. Las Termas del Puerto de Carthago Nova: análisis arquitectónico y tipológico, e inserción en el contexto de la arquitectura termal pública de Hispania Citerior*, Tesis Doctoral, Esuela Internacional de Doctorado, Universidad de Murcia, Murcia.
- Poccardi G. 2005-2006, *Les édifices des bain de la ville d'Ostie à l'époque impériale (milieu du Ier siècle – début du VIe siècle): études typologiques, techniques et urbaines*, Thèse de Doctorat en Archéologie Classique, Université de Paris I, Panthéon – Sorbonne, UFR d'Histoire de l'Art et d'Archéologie, Année Universitaire 2005-2006.
- Thébert Y. 2003, *Thermes romains d'Afrique du Nord et leur contexte méditerranéen études d'histoire et d'archéologie*, BEFAR 315, Rome.
- Trümper M. 2017, *Water Management of the Stabian Baths at Pompeii: A Reassessment*, in Letzner W., Wiplinger G. (eds.), *Wasserwesen zur Zeit des Frontinus : Bauwerke - Technik - Kultur. Tagungsband des internationalen Frontinus-Symposiums Trier, 25. - 29. Mai 2016*, Leuven – Paris – Bristol, Babesch, annual papers on Mediterranean archaeology. Supplement, 32, pp. 257-272.
- Yegül F. 1992, *Baths and Bathing in Classical Antiquity*, New York.

Schede



**Aree 1000 e 4000:**  
parte di grande fattoria  
o villa rustica  
(II/I a.C.-metà I d.C.)



1 Santa Marta (Cinigiano, GR). Planimetria generale delle strutture romane sinora rimesse in luce nel sito, II-I a.C.-inizio V d.C.



2 Santa Marta (Cinigiano, GR). Localizzazione del sito in Google Earth.

## 26. Santa Marta (Cinigiano, GR) I *balnea* presso il sito romano e tardoantico

Stefano Campana<sup>1</sup>, Emanuele Vaccaro<sup>2</sup>, Alfredo Buonopane<sup>3</sup>

<sup>1</sup> Università degli Studi di Siena - campana@unisi.it

<sup>2</sup> Università degli Studi di Trento - emanuele.vaccaro@unitn.it

<sup>3</sup> Università degli studi di Verona - alfredo.buonopane@univr.it

### Riassunto

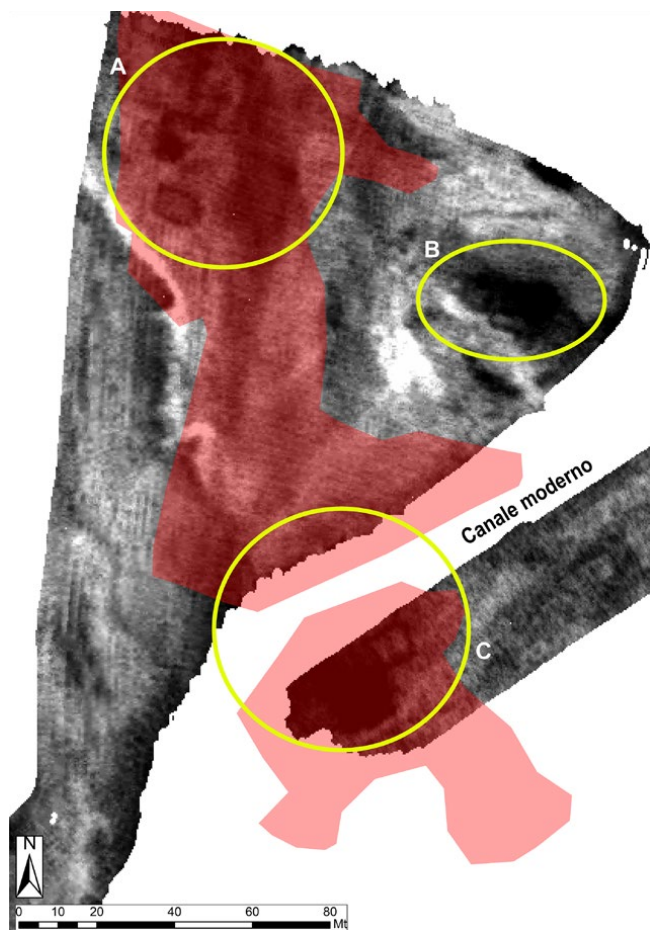
Il Progetto Santa Marta, co-diretto dalle Università di Siena e Trento, si pone nell'ambito di una lunga stagione di ricerche, cominciata nel 2006, nel territorio comunale di Cinigiano (GR), in Toscana meridionale. Il sito di Santa Marta rappresenta il complesso insediativo di maggiore monumentalità e di più lunga durata dell'intero comprensorio comunale di Cinigiano, con le sue fasi di vita che coprono l'intero arco cronologico compreso tra II/I secolo a.C. e XVI/XVII d.C. Questo contributo focalizza l'attenzione sul periodo tra II e inizio V d.C. che coincide con la massima crescita del sito sia in chiave topografica che monumentale. Dopo l'abbandono di un primo nucleo, non ancora indagato in estensione e caratterizzato da una grande fattoria o villa rustica fondata in età tardo-repubblicana, agli inizi del II secolo d.C. venne edificato un ampio complesso costituito da due edifici ed una cisterna. Le tecniche costruttive (*opus mixtum*, *opus vittatum*, *opus testaceum*) e l'ampiezza delle superfici mosaicate denotano la consistenza degli investimenti e la centralità del sito nel suo contesto territoriale. Mentre l'Edificio A, forse caratterizzato da una parte a carattere residenziale, venne dotato di un *balneum* nella porzione meridionale, l'Edificio B ebbe sin dall'inizio la funzione esclusiva di impianto termale. Il periodo di massima espansione del complesso si colloca a cavallo tra III e IV secolo d.C., quando esso raggiunse quasi 1500 mq. La notevole ampiezza degli spazi ad uso termale, al momento sovradimensionati rispetto al resto, sembrano compatibili con la funzione del sito come stazione di sosta lungo un tracciato viario che raccordava la viabilità maggiore costiera a quella interna della Toscana meridionale.

### Abstract

Co-directed by the Universities of Siena and Trento, the Santa Marta Project fits into a long-term archaeological project, started in 2006, in the Comune of Cinigiano (Grosseto) in southern Tuscany. Santa Marta is the most monumental and longest-lasting rural site in the area, with an occupation spanning the 2<sup>nd</sup>/1<sup>st</sup> BC and the 16<sup>th</sup>/17<sup>th</sup> centuries AD. In the 2<sup>nd</sup> through to the early 5<sup>th</sup> century AD, Santa Marta saw a remarkable process of expansion and monumentalisation. After the abandonment of a late-Republican large farm or *villa rustica*, at the beginning of the 2<sup>nd</sup> century AD a large complex composed of two buildings and one cistern was constructed. Building techniques and the large areas covered by mosaics point to sizeable investments and the economic centrality of the site in its micro-regional context. Building A, possibly characterised by a residential component, was provided with a *balneum* in its southern portion, whereas Building B was entirely conceived as a bath-complex. The largest expansion of the complex occurred between the 3<sup>rd</sup> and 4<sup>th</sup> centuries AD when it reached as many as c. 1500 m<sup>2</sup>. The large size of the bathing areas, which at present appear over-emphasised to the detriment of the rest, points to the use of the site as a road-station along a secondary, but important, road connecting the Roman official road systems of coastal and inland southern Tuscany.

### Keywords

Roma Baths, Santa Marta, Road-station, mosaics, diachrony.



3 Santa Marta (Cinigiano, GR). Estensione dello spargimento di materiale di superficie di età romana (rosso in trasparenza) e risultati delle prospezioni geofisiche ARP (con indicazione delle principali aree con anomalie archeologiche).  
Le lettere indicano anche le aree sinora oggetto di indagine:  
complesso romano settentrionale (A);  
chiesa (B);  
complesso romano meridionale (C).

### 1. Contesto topografico

Il sito di Santa Marta è situato nel comune di Cinigiano (GR) nella media valle dell'Ombrone, all'altezza della sua confluenza con il fiume Orcia. È posto ad una quota di 240 m s.l.m., in una posizione ben protetta lungo la parte media e alta di un versante collinare esposto a meridione, circa 5 km a sud e ad est dal fiume Ombrone e a 8 km dalla sua confluenza con l'Orcia. Il fiume Ombrone si caratterizza per essere, insieme ad altre macro entità territoriali, tra cui spicca il Monte Amiata, un elemento fisiografico di particolare rilievo estendendosi come una lama nella Toscana meridionale attraverso le provincie di Grosseto e Siena fino ai Monti del Chianti.

In quest'area, che può essere quantificata in un'estensione dei due bacini fluviali di ca. 4500 kmq, sono attive le ricerche di topografia archeologica dell'Ateneo senese dalla fine degli anni '80 del secolo scorso (Valenti 1995; Campana 2001; Felici 2004, 2012; Vaccaro 2011; Campana 2013). In quasi trent'anni di ricerca abbiamo identificato una grande mole di evidenze, ca. 5000 distribuite nella lunga diacronia, dalla preistoria alla modernità, che coprono in modo sistematico (sebbene per campioni) e metodologicamente coerente entrambi i bacini. Il quadro complessivo è di grande interesse e articolazione, permettendoci di elaborare un visione piuttosto dettagliata per l'orizzonte cronologico che parte grossomodo dal primo millennio a.C. in poi. Non è questa la sede per entrare nel dettaglio delle vicende delle trasformazioni topografiche e del loro sviluppo nella lunga durata, ma, considerate le caratteristiche del contesto in esame, va ribadito uno dei ruoli specifici condotto dalle valli dell'Ombrone e dell'Orcia: la funzione di direttrici di penetrazione interna del territorio favorendo i collegamenti tra la costa tirrenica, le aree interne protraendosi fino alla costa adriatica.

Nel complesso riteniamo che per la contestualizzazione del complesso di Santa Marta (sia in età romana che medievale) vadano tenuti in considerazione alcuni dati emersi dalla ricerca topografica. Lungo i fiumi Ombrone e Orcia, neanche in una prospettiva diacronica, si sono sviluppate città. All'interno le città sono sistematicamente lontane dai due fiumi: le più vicine sono Siena e Arezzo poste a decine di chilometri di distanza. Solo nella parte finale dell'Ombrone abbiamo prima Vetulonia e Roselle e poi Grosseto, che in



3 Santa Marta (Cinigiano, GR). Campionatura di tecniche costruttive murarie: 1. Paramento interno del lato nord dell'Ambiente 3, Edificio A (*opus mixtum* e tamponatura tardoantica); 2. Paramento interno del lato nord dell'Ambiente 1, Edificio A (opera testacea); 3. Paramento esterno del perimetrale orientale dell'Edificio B (*opus mixtum* con reticolato policromo), con la rampa in cocciopesto e le aperture aggiunte nella Fase III, tardo III-IV secolo d.C.

ogni caso non sono attraversate dal fiume. Il centro urbano romano più prossimo a Santa Marta è costituito da Roselle, distante circa 17 km in linea d'aria. Occorre sottolineare che nell'ambito degli studi condotti sui territori situati ad est del fiume Ombrone e tra il contesto di Santa Marta ed il Tirreno (attuali territori comunali di Cinigiano, Campagnatico e Grosseto) non sono emersi altri complessi con le stesse caratteristiche del sito in esame. Presumendo che i principali elementi geografici e le macro caratteristiche geomorfologiche non siano cambiate in modo sostanziale, a differenza della viabilità attuale che segue in modo piuttosto pedissequo il corso dei fiumi, in passato il corridoio di accesso più agevole per accedere alla val d'Orcia doveva essere quello situato ad est del fiume Ombrone, almeno per chi proveniva da sud. SC

## 2. Storia degli studi e degli scavi

Il contesto archeologico di Santa Marta è stato identificato nell'ambito del progetto Carta Archeologica della Provincia di Grosseto articolato, come nel caso della provincia di Siena, per amministrazioni comunali. Nel 2006 sono state avviate le ricerche topografiche nel comune di Cinigiano secondo uno schema ben consolidato basato sulla ricognizione di superficie in aree campione ed integrato con l'analisi delle fotografie aeree storiche e con le ricognizioni aeree (Ghisleni 2009; Campana 2013). Il sito di Santa Marta è stato identificato nel 2007 tramite ricognizione di superficie. La sua rilevanza è stata chiara fin dal principio, in quanto l'ampiezza degli spargimenti di superficie (c. 1,2 ha), l'articolazione e pregio dei reperti mobili (tra cui abbondante materiale da costruzione, ceramiche romane, tardoantiche e medievali, vetri, tessere di mosaico e marmi) e la lunga diacronia del sito dall'età romana al medioevo ne facevano il contesto archeologico dotato di maggiore complessità e di più lunga durata di tutto il comprensorio comunale. Nel corso del 2007 sono stati eseguiti approfondimenti delle indagini attraverso misure gradiometriche sulle aree di concentrazione di superficie e ricognizioni aeree mirate (Ghisleni 2009). A questa prima fase di ricerca sul terreno è seguito un periodo di analisi dei dati raccolti e approfondimento delle ricerche nell'ambito di nuovi progetti. Tra di essi, il *Roman Peasant Project* che proprio partendo dai dati delle *surveys* nel territorio di Cinigiano ha inteso indagare, mediante attività di scavo dal 2009 al 2014, un campione di siti rurali di età romana. I dati prodotti da questo progetto, assieme a quelli delle ricognizioni di superficie nel comune di Cinigiano offrono la possibilità di contestualizzare il sito di Santa Marta nel proprio quadro territoriale di età romana.

Nel 2011, grazie al sostegno della Fondazione Bertarelli, è iniziata una seconda stagione di ricerche finalizzate alla conoscenza approfondita del contesto di Santa Marta, alla sua musealizzazione e fruizione. Il primo anno è stato dedicato all'approfondimento diagnostico tramite l'acquisizione di misure estensive e ad alta risoluzione, gradiometriche, geoelettriche (ARP) e radar, abbinata alla realizzazione di un modello digitale del terreno utilizzando un GPS differenziale. I risultati sono stati estremamente positivi permettendoci di visualizzare con chiarezza un'ampia serie di anomalie distribuite in tutta l'area e ben



strutturate in forme riconducibili a parti di edifici ed altri elementi archeologici (fig. 3). L'esito è stato determinato per la definizione della topografia archeologica generale del contesto ed orientare l'intervento stratigrafico.

Nel 2012 sono iniziati gli scavi che si sono concentrati presso il nucleo settentrionale dove sono stati messi in luce edifici pertinenti ad una grande fattoria o villa rustica tardo-repubblicana, in parte abbandonata già verso la metà del I secolo d.C. e presso l'area della chiesa medievale. Solo alla fine della campagna di scavo 2013, le indagini si sono estese al complesso meridionale. Tra il 2014 ed il 2018, data l'ampiezza e l'articolazione di tale complesso, si è deciso di sospendere le indagini presso il sito rurale tardo-repubblicano e primo-imperiale (oggetto di una rioccupazione a partire dal V d.C.), e di concentrarsi sullo scavo dell'area a sud, dove la sequenza mostra una continuità di occupazione tra II e prima metà VII secolo d.C., sia pure a fronte di significative trasformazioni architettoniche, topografiche e funzionali. Le indagini presso la chiesa sono proseguite ogni anno dal 2012 al 2017 portando all'identificazione di una sequenza di edifici religiosi, di cui il più antico triabsidato predata il tardo IX-X secolo, ed il più recente è rappresentato da una cappella funeraria in uso fino al XVI/XVII secolo d.C.

SC, EV

### 3. Descrizione degli ambienti e delle fasi

#### 3. 1-2. 1. Complesso meridionale. Edificio A: descrizione delle strutture, il balneum e le sue fasi

Questo grande complesso, che forse comprendeva sia ambienti residenziali che termali, ha un impianto di forma rettangolare, misurante circa 18,7 x 26,5 m. La sua lunghezza aumenta fino a 27 m lungo il lato occidentale, per il raddoppiamento del perimetrale sud del *tepidarium*. L'Edificio A è tagliato in due dal passaggio di un ampio canale, con andamento nord-est/sud-ovest, realizzato tra gli anni '50 e '60 del secolo scorso, funzionale sia alla regimentazione delle acque che alla divisione di proprietà. La significativa larghezza del fosso (tra i 4 ed i 5 m) complica la lettura d'insieme dell'edificio, avendone asportato strutture e stratigrafie proprio al centro.

Le indagini sino ad oggi si sono concentrate prevalentemente nella parte settentrionale dell'edificio, occupata da un vestibolo monumentale (18,7 x 5,3 m), con ampio ingresso assiale largo 4,2 m, posto a nord e su una serie di ambienti a sud del fosso, dove è stato localizzato un *balneum*.

Ad eccezione del grande vestibolo settentrionale in opera laterizia (il solo ambiente edificato integralmente con questa tecnica), il resto dell'edificio è realizzato in *opus mixtum*, con ampie specchiature di reticolato, dove i *cubilia* sono in arenaria verosimilmente locale, intervallate da cinture e catene angolari in mattoni bessali (in generale Adam 2014) (fig. 4). All'opera mista, che caratterizza gran parte dell'Edificio A, si aggiungono alcuni paramenti in *opus vittatum*, riconosciuti per adesso solamente nella parte meridionale e riferibili sia a stipiti di entrate che ad un pilastro.

La descrizione e discussione degli ambienti si concentrerà su quelli che, oltre ad essere stati messi in luce, sono stati anche scavati almeno in parte. Alla luce dei dati disponibili, rimane incerto se il vestibolo monumentale (Ambiente 1) si debba considerare in fase con il resto dell'edificio o meno. Si tratta di un grande ambiente (18,7 x 5,3 m) posto sul lato nord, con i lati settentrionale, occidentale ed orientale realizzati in opera laterizia e poggiante a sud sul muro in *opus mixtum* che forse, originariamente, costituiva la facciata settentrionale dell'Edificio A. Il vestibolo in opera laterizia presenta interessanti caratteristiche architettoniche quali i pilastri sui tre lati che su quello lungo settentrionale venivano a creare, data la loro sporgenza, delle lesene visibili sia sulla facciata esterna che su quella interna, mentre i pilastri sui lati corti creavano lesene visibili solo all'interno. La costruzione di questo ambiente, sia che fosse parte del progetto originario (prima metà II secolo d.C.), sia che si debba imputare ad un momento di poco successivo (metà-seconda metà II d.C.?), risponde chiaramente all'intento di fornire l'Edificio A di un ampio vestibolo con accesso monumentale largo 4,2 m, le cui lesene sul lato settentrionale conferivano un profilo articolato all'intera facciata (fig. 4).

Sebbene lo scavo non abbia ancora interessato le zone immediatamente a nord ed a sud del fosso moderno, il fatto di avere intercettato in prossimità della sezione settentrionale lacerti murari di reticolato suggerisce una significativa articolazione interna dell'intero edificio e di definire l'andamento dei suoi perimetri ovest ed est.

Nella porzione meridionale dell'Edificio A, si collocano quattro ambienti di cui almeno due sono riferibili ad un *balneum* sin dalla Fase 1 (fig. 5). Procedendo da est verso ovest si incontra l'Ambiente 2 di forma rettangolare, realizzato in *opus mixtum*, reticolato e laterizio, ad eccezione dello stipite occidentale dell'ingresso posto presso l'angolo nord-est, e dotato di una nicchia lungo il perimetrale orientale.



5 Santa Marta (Cinigiano, GR). Complesso meridionale (C), Fase I, prima metà II secolo d.C.

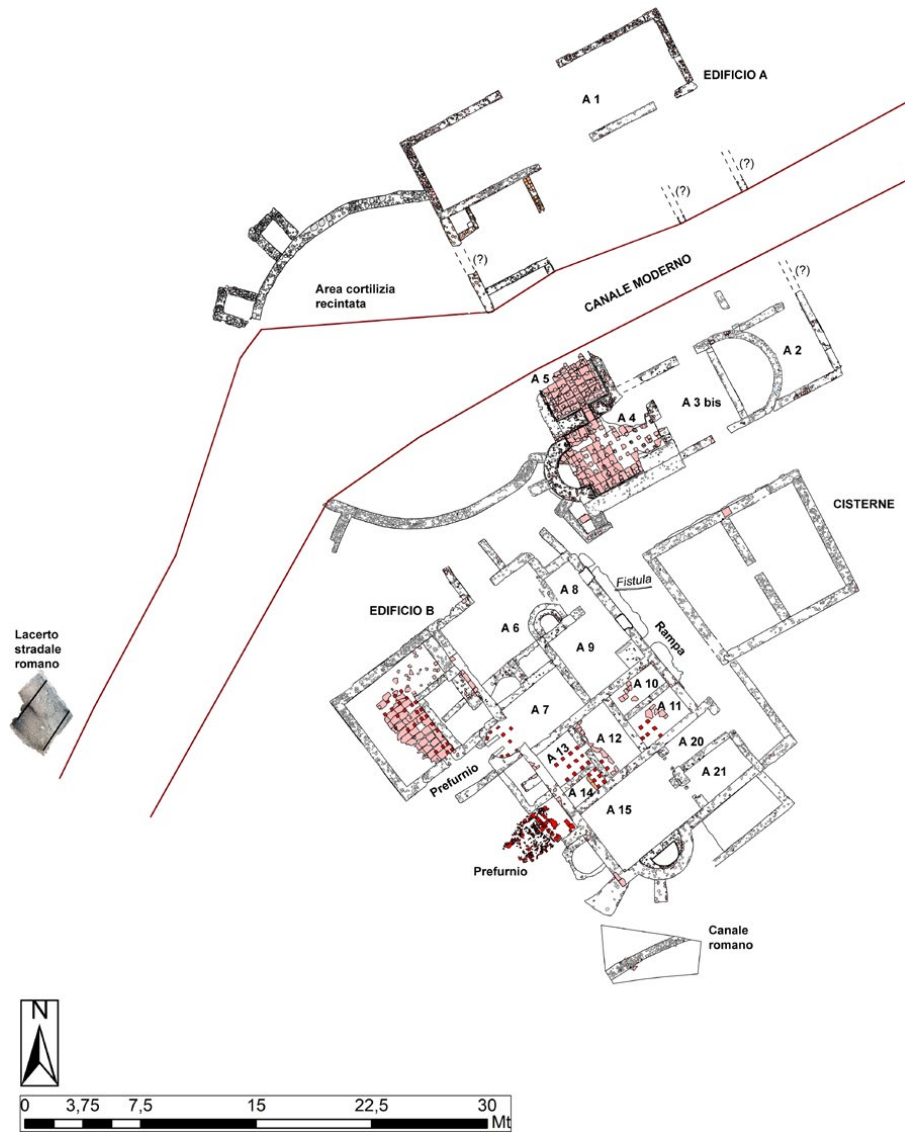
Il mosaico pavimentale con motivo geometrico policromo (*infra*), in parte conservato, sembra riferibile a non prima del tardo II-III secolo d.C., indicando quindi un rifacimento del pavimento riferibile ad un momento successivo alla costruzione. La funzione di questo ambiente è al momento incerta, e non è da escludersi che avesse una destinazione di carattere residenziale. Subito ad ovest, si situa l'Ambiente 3, accessibile mediante due ingressi, uno a nord ed uno a sud forse di servizio. La posizione dell'ambiente ed il fatto che non presenti tracce di ipocausto, suggerirebbe una sua destinazione come *frigidarium*, anche se tale ipotesi è contraddetta dall'assenza di una vasca ascrivibile alla Fase 1 (*infra*). Dall'Ambiente 3, che nella Fase I poteva servire da vestibolo-*apodyterium*, si accedeva direttamente al successivo Ambiente 4, dotato di ipocausto. L'Ambiente 4 è dotato di vasca absidata sul lato ovest, della larghezza massima interna di 2,7 m. Tre contrafforti, anche essi in *opus mixtum*, si appoggiano radialmente alla facciata esterna della vasca indicando, qui come altrove, il tentativo di controbilanciare la spinta da est verso ovest della collina. La posizione dell'ambiente riscaldato e l'assenza di un *praefurnium* ad esso direttamente collegato suggeriscono che si possa trattare di un *tepidarium*, i cui pavimenti vennero sistematicamente spoliati a partire dai primi decenni del V secolo d.C. Adiacente, ma perpendicolare all'Ambiente 4, si colloca l'Ambiente 5, anch'esso oggetto di sistematiche spoliazioni tardoantiche che ne hanno completamente asportato i pavimenti, lasciando però intatto l'ipocausto con le *pilae*. Un canale rettangolare garantiva il passaggio dell'aria calda, dall'ipocausto dell'Ambiente 5 a quello dell'Ambiente 4, con percorso da nord verso sud. La collocazione dell'Ambiente 5 in prossimità del fosso moderno ha determinato la completa distruzione della parte centro-settentrionale. Sebbene sia impossibile ricostruire forma e dimensioni complessive



6 Santa Marta (Cinigiano, GR). Complesso meridionale (C), Fase II, tardo II-III secolo d.C.

dell'ambiente, la sua posizione e l'assenza di un *praefurnium* in relazione all'adiacente Ambiente 4, suggeriscono di interpretare l'Ambiente 5 come *caldarium*, il cui forno ed una eventuale vasca dovevano collocarsi esattamente nell'area distrutta dal taglio del canale moderno.

Le indagini di scavo non hanno sinora intercettato stratigrafie riconducibili alla fondazione dell'Edificio A, pertanto la datazione del primo impianto si basa esclusivamente sulle tecniche costruttive. Sebbene sia stato possibile riconoscere che il vestibolo monumentale Ambiente 1, il solo ad essere realizzato interamente in opera laterizia, si appoggi al corpo centrale dell'Edificio A, non si può escludere che anch'esso possa riferirsi alla Fase I. D'altra parte, l'architettura romana mostra esempi di contemporaneità di tecniche costruttive differenti come l'opera testacea e l'*opus mixtum* all'interno dello stesso edificio (Lugli 1957: 597-606). In generale, la presenza prevalente dell'*opus mixtum* e la sua accertata contemporaneità con parti in *opus vittatum* spingerebbero a collocare la Fase I in età adrianea, o più generalmente nella prima metà del II secolo d.C. (Lugli 1957: 514-526 e 637). Le terme poste alle pendici della collina nord della vicina città romana di Roselle presentano analoghe tecniche costruttive (*opus mixtum*) e la datazione ad età adrianea è accertata da alcuni bolli (Celuzza, Medri in questo volume). Nel corso della Fase I, gli ambienti del *balneum* collocato nella parte meridionale dell'edificio sembrerebbero mostrare un percorso retrogrado angolare vestibolo-*apoditerium*, *tepidarium*, *caldarium*, senza un *frigidarium*. Tale assenza nella Fase I è confrontabile con l'area vesuviana, sebbene per un periodo più antico. Qui, infatti, a partire dall'età augustea *domus* e ville cominciarono a dotarsi di piccoli *balnea* privati, spesso caratterizzati solamente da uno o due ambienti riscaldati e, talora, da un *apodyterium* (Fabbricotti 1976). Casi simili si incontrano



7 Santa Marta (Cinigiano, GR). Complesso meridionale (C), Fase III, tardo III-IV secolo d.C.

anche, ad esempio, nell'agro romano dove è stato registrato un *pattern* analogo a quello delle aree circostanti il Vesuvio, con la comparsa, a partire dall'epoca augustea, di piccoli impianti termali privati senza il *frigidarium* all'interno delle ville. Solamente con il II e III secolo d.C., quando verranno edificate nuove terme a padiglione legate alle ville, i *frigidaria* diverranno una costante (De Franceschini 2005: 314). Tali elementi costituirebbero pertanto una possibile conferma all'ipotesi che l'Edificio A avesse una valenza privata, come residenza del proprietario o di un suo dipendente, piuttosto che pubblica.

Dopo un rifacimento del pavimento in tessellato dell'Ambiente 2 (*infra*) ascrivibile alla Fase II, che al momento sembra inquadrabile tra tardo II e III secolo d.C., si registrano alcuni significativi interventi edilizi nell'Edificio A, in generale, e nel circuito del *balneum* nello specifico. Questi interventi sembrano ascrivibili al pieno III-IV secolo d.C. (Fase III) (figg. 6-7). Nel *balneum*, il mutamento interessa gli Ambienti non riscaldati 2 e 3, adiacenti a quelli dotati di ipocausto, e si caratterizza per la costruzione di una struttura absidata che si innesta nei muri nord e sud dell'Ambiente 2 e sul pilastro in *opus vittatum* che fungeva da stipite orientale dell'ingresso all'Ambiente 3. La tecnica di costruzione del nuovo muro impiega pietrame irregolare, con occasionali spianamenti orizzontali e zeppe in laterizio, il tutto legato da argilla. L'abside presentava una sorta di nicchia, il cui piano era rivestito da un lacerto di mosaico di riempiego. La presenza di lucerne, di cui almeno una imitante prototipi in sigillata africana, dal crollo della struttura, potrebbe suggerire che la nicchia servisse per l'appoggio di ceramiche da illuminazione. In fase con la costruzione del muro absidato, si deve porre la rasatura del muro che divideva gli Ambienti 2 e 3 e la realizzazione di due tagli ad U alle due estremità del muro stesso. La rasatura del muro è funzionale

alla realizzazione di una sponda per la nuova vasca absidata, mentre più incerta appare la funzione dei due incassi laterali che potevano forse alloggiare tubature o fungere da troppopieno. Questa ristrutturazione fu funzionale alla trasformazione dell'Ambiente 3 in *frigidarium* (ora denominato 3bis) con ampia vasca absidata, a discapito dell'Ambiente 2, la cui porzione occidentale venne invasa dalla vasca stessa, riusandone parte del mosaico con motivo geometrico (*infra*) come pavimento. Degno di nota, ad esempio, che nella Gallia Narbonese analoghi *frigidaria* con *piscina* absidale, pur essendo documentati nel lungo periodo tra la metà del I ed il V secolo d.C., divengono assai frequenti soltanto nel III e nel IV secolo d.C. (Bouet 2003: 29-32), a possibile conferma di una datazione avanzata del *frigidarium* dell'Edificio A.

Sempre alla Fase III, sebbene l'indagine, non ne abbia ancora intercettato i livelli di fondazione, possiamo preliminarmente assegnare la costruzione di un'ampia struttura con andamento a ferro di cavallo, addossata al lato occidentale dell'Edificio A. La muratura, realizzata con pietrame irregolare posto in opera in filari sub-orizzontali spesso con sdoppiamenti, e frammenti di laterizi, con legante costituito da malta biancastra, mostra una larghezza media di c. 70-72 cm. Il muro, si appoggia a nord al perimetrale occidentale del vestibolo in opera testacea (Ambiente 1) ed a sud al contrafforte più settentrionale della vasca del *tepidarium* (Ambiente 4) e viene a racchiudere un'ampia area di almeno 270 mq ad ovest dell'Edificio A. Il grande ambiente così definito era verosimilmente scoperto o dotato di una tettoia limitata al perimetro, come potrebbe dimostrare il crollo di laterizi e pietre localizzato lungo la facciata interna di un breve tratto di muro presso il quale si è effettuato un sondaggio. Sulla facciata esterna si appoggia una serie di strutture radiali di forma rettangolare, ciascuna costituita da tre muri, di cui i due lati lunghi poggiano sul muro con andamento a ferro di cavallo. Sebbene le strutture siano solo state messe in luce e non ancora scavate, la tecnica costruttiva sembra essere la medesima di quella del muro a cui si appoggiano. È evidente che le strutture radiali non erano in alcun modo accessibili, internamente, dall'area delimitata dalla grande struttura, né, alla luce di quanto possiamo constatare al momento, paiono mostrare degli ingressi dall'esterno. Ciò suggerirebbe che si possa trattare di grandi contrafforti riempiti di terra, miranti al contenimento della struttura aggiunta in Fase 2, piuttosto che di ambienti veri e propri. Una struttura simile riempita di terra ed attribuibile alla medesima fase fu realizzata in opera incerta e venne addossata all'angolo sud-occidentale dell'Edificio A ed al contrafforte radiale più meridionale della vasca absidata dell'Ambiente 4, al fine di conferire maggiore stabilità all'edificio.

L'ampiezza e la posizione della struttura paiono rispondere alla volontà di dotare l'edificio di un ampio cortile forse legato alla prima accoglienza dei viandanti. In un trincea posta circa 21 m a sud-ovest, infatti, sono state rinvenute tracce di piani stradali glareati sovrapposti, riferibili al periodo romano-imperiale e a quello tardoantico, con orientamento nord-est/sud-ovest, il cui eventuale proseguimento correrebbe proprio in direzione dell'asse centrale della grande struttura con andamento a ferro di cavallo. Purtroppo, il fosso moderno, che si allarga notevolmente nel suo passaggio attraverso l'ampia struttura aggiunta sul lato occidentale dell'Edificio A, ha tagliato interamente la parte centrale del muro, distruggendo definitivamente un possibile ingresso che doveva porsi lungo questa porzione di muratura collegandosi direttamente con la strada. Sembra plausibile mettere in relazione la costruzione di questo grande cortile recintato con un processo di espansione e ridefinizione di parte del complesso di Santa Marta in atto nella Fase III e legato al suo ruolo di stazione di sosta lungo una via di collegamento tra costa ed interno.

EV

### 3. 1-2. 2. Complesso meridionale. La cisterna

A 3,6 m a sud dell'Edificio A, si situa un complesso di forma trapezoidale (misure: 11,4 m la base maggiore a nord, 10 m la base minore a sud, c. 8,8 m i lati) costituito da una cisterna divisa in due parti da un setto murario con apertura al centro. L'indagine ha rimesso in luce la planimetria della struttura senza però approfondire lo scavo al loro interno. Fa eccezione un saggio esplorativo presso l'angolo nord-est della cisterna, che oltre a consentire di osservare il rivestimento in cocciopesto sia delle pareti che del fondo, ha permesso di rilevare l'altezza della struttura pari a 1,6 m. Poiché la parete interna risulta rivestita da cocciopesto in tutta la sua altezza possiamo stimare una capacità di circa 112000 lt se la consideriamo riempita integralmente d'acqua. Lo scavo condotto nel corridoio ad L compreso tra l'Edificio A a nord, la cisterna a sud e l'Edificio B ad ovest ha consentito di rimettere in luce i paramenti settentrionale ed occidentale della cisterna. Essi sono realizzati in opera incerta con pietre calcaree irregolari poste in opera in corsi tendenti all'orizzontalità con, almeno lungo la facciata nord del perimetrale settentrionale, spianamenti orizzontali in laterizio, il tutto legato da malta grigiastra molto tenace ed abbondante. La questione dell'alimentazione della cisterna resta al momento di incerta definizione. Per la circolazione

dell'acqua in uscita, invece, al momento disponiamo solo di una evidenza legata ad una *fistula plumbea* che grazie al personaggio menzionato nel bollo, possiamo ascrivere al tardo III secolo d.C. (*infra*). La *fistula*, ancora *in situ*, si innestava nel muro occidentale della cisterna e da qui si dirigeva verso gli ambienti freddi situati nella porzione settentrionale del *balneum* identificato nell'Edificio B. La posizione della cisterna e la sua capacità suggeriscono di riferirne la costruzione alla Fase I, quando essa doveva servire sia il *balneum* dell'Edificio A che l'impianto termale dell'Edificio B

E.V.

### 3. 1-2. 3. Complesso meridionale. Edificio B: il *balneum* meridionale e le sue fasi

In posizione perpendicolare all'Edificio A, si colloca l'Edificio B. I due complessi risultano collegati mediante il corridoio ad L che corre lungo il lato meridionale di A e quello orientale di B. L'Edificio B, con orientamento nord ovest - sud est, conobbe significative trasformazioni nel corso della sua vita, che solo in parte possono essere definite e datate allo stato attuale della ricerca. Come per l'Edificio A, mancano ad oggi elementi per una cronologia iniziale offerti direttamente dalla stratigrafia, dal momento che gli scavi si sono concentrati sulla definizione della sua estensione e sull'indagine dei contesti di defunzionalizzazione ed abbandono tardoantichi. L'Edificio B, nel suo impianto originario, doveva avere una lunghezza massima di c.22,6 m ed una larghezza massima di 12 m. La pianta non è perfettamente rettangolare data una sporgenza del muro presso l'angolo sud-orientale ed una rientranza presso l'estremità nord-orientale. La superficie complessiva, misurata lungo il perimetro esterno, è di circa 230 mq. Anche l'Edificio B è costruito in *opus mixtum*, reticolato e laterizio, con alcuni stipiti che presentano il vittato. La differenza principale consiste nei litotipi impiegati per i *cubilia* del reticolato: mentre l'Edificio A impiega esclusivamente l'arenaria, il B mostra una alternanza di *cubilia* in calcare e in arenaria a formare un'opera reticolata policroma (fig. 4). La disposizione del materiale lapideo non sembra rispondere ad un *pattern* preciso tale da determinare un disegno (Lugli 1957: 489-491), ciononostante non è da escludersi che la policromia, in un paramento come questo, non caratterizzato da intonaco sulle pareti esterne, rispondesse alla volontà di rendere l'edificio meglio identificabile da parte dei viandanti (Lugli 1957: 490). Ciò potrebbe addirsi bene ad un edificio termale, come quello A, per il quale possiamo ipotizzare una funzione pubblica sin dalla sua fondazione. Tuttavia, l'effetto policromo potrebbe anche costituire il risultato della necessità di impiegare materiali diversi che si avevano a disposizione e che venivano posti in opera in maniera alternata, al fine di ridurre al minimo le differenze di reazione col nucleo interno (Giuliani 2008: 232). Anche la datazione di questo edificio sembra attribuibile ai decenni iniziali del II secolo d.C. e potrebbe quindi far parte di un unico programma edilizio che comprendeva i due edifici A e B assieme alla cisterna.

Le indagini presso l'Edificio B hanno sinora avuto come obiettivo principale quello di metterne in luce la planimetria generale, mentre l'approfondimento stratigrafico si è sostanzialmente limitato alla rimozione dei pochi strati di crollo risparmiati dalle arature. Queste ultime, data la posizione dell'edificio in una porzione di collina soggetta a dilavamento (da est verso ovest), hanno danneggiato profondamente strutture e stratigrafie in tutta la parte centro-occidentale, risparmiando solo i depositi archeologici al di sotto dei piani pavimentali. Nella parte orientale dell'edificio, invece, si è registrata una maggiore conservazione sia dei pavimenti in tessellato che dei soprastanti livelli di abbandono e crollo.

Nella Fase I, l'unico ingresso all'impianto termale avveniva da nord, mediante un'apertura larga 1,7 m. Tutti gli ambienti freddi, con superfici calpestabili pari a circa 80 mq, si collocano nel blocco settentrionale dell'edificio. La mancata identificazione di una vasca d'acqua fredda per questa fase rende al momento difficile definire con chiarezza il percorso e la funzione specifica degli ambienti. Tuttavia, il primo ambiente a cui si accedeva una volta entrati nell'edificio (Ambiente 6) potrebbe rappresentare un *frigidarium*, se il proseguo delle indagini, rivelasse che l'Ambiente 7 subito a sud, rappresentava una grande vasca nel corso della Fase I. Dall'Ambiente 6, forse mediante un gradino (certamente documentato nella Fase II), si poteva accedere all'Ambiente 8, posto ad est. Da qui, poi, si passava all'Ambiente 9, provvisto, forse sin dalla Fase I di una vaschetta nell'angolo sud-orientale. Questo ambiente potrebbe avere costituito un *apodyterium*, sebbene tale ipotesi dovrà essere dimostrata mediante un approfondimento delle indagini di scavo. Degna di nota la stratificazione di pavimenti in tessellato dell'Ambiente 6, dove il mosaico più antico in tessere bianche e nere con motivo marino, costituisce ad oggi il solo lacerto di pavimento riferibile con buone probabilità alla Fase I della prima metà del II secolo d.C. (*infra*).

Il percorso di passaggio dagli ambienti freddi a quelli riscaldati è intuibile, anche se la distruzione di gran parte delle soglie all'interno degli ambienti ed il mancato approfondimento dell'indagine di scavo

non ci consente ancora di cogliere dove si collocassero precisamente i diversi ingressi. Un primo blocco di ambienti riscaldati doveva essere accessibile mediante un passaggio che potremmo ipoteticamente collocare sul lato sud dell'Ambiente 9, ad ovest della vaschetta. Si tratta di una serie di ambienti orientati nord-est/sud-ovest misuranti complessivamente circa 9,7 x 4,2 m lungo il perimetro interno dei muri che li racchiudono e, a loro volta, divisi mediante tramezzi che si appoggiano ad essi. Tutti questi ambienti, provvisti di ipocausto, erano alimentati da un *prae-furnium* situato lungo il perimetrale occidentale dell'edificio. I tramezzi interni determinano una notevole frammentazione degli ambienti riscaldati che rende complessa la definizione delle loro specifiche funzioni nel corso della Fase I. Occorre, infatti, notare come questa serie di ambienti riscaldati rimanesse in uso anche durante la Fase II e che, allo stato attuale della ricerca, non risulta possibile definire se la loro planimetria generale si debba alla Fase I o, sia in parte anche frutto delle trasformazioni occorse durante la successiva. Verosimilmente il percorso doveva svilupparsi da est verso ovest, quindi dagli ambienti riscaldati più lontani dal *prae-furnium* fino a quelli adiacenti ad esso. Il piccolo Ambiente 10, dotato di pavimento con mosaico a motivo geometrico, ed il successivo Ambiente 11 potrebbero costituire due *unctoria* riscaldati vista la loro posizione molto decentrata rispetto al *prae-furnium* (Nielsen 1990: 161). Il successivo Ambiente 12 dotato di tubuli sui lati sud, est e nord, potrebbe essere identificato con il *tepidarium*, dove si conserva un lacerto di mosaico policromo con tema cinegetico. Incerta la funzione dell'adiacente Ambiente 13, forse un secondo *tepidarium*, posto in prossimità del *prae-furnium*, ma apparentemente privo di tubuli lungo la parete. L'assenza di tubuli caratterizza anche il successivo Ambiente 14, di forma rettangolare e piccole dimensioni, riscaldato direttamente dal *prae-furnium* ed interpretabile come *sudatorium*, per il bagno di sudore a secco, che però poteva divenire a vapore versando acqua sul pavimento caldo (Nielsen 1993: 159-160). È ipotizzabile che il passaggio al successivo Ambiente 15 avvenisse proprio dall'Ambiente 14. L'Ambiente 15 di forma rettangolare, costituisce l'ultima stanza dell'Edificio B sul lato sud ed è il solo all'interno del quale siano stati realizzati sinora sondaggi al di sotto dei piani pavimentali. Tali interventi hanno consentito di gettare luce sul suo radicale mutamento di funzione nel passaggio dalla Fase I alla II. Della Fase I il vano conserva solamente il piano dell'ipocausto. Le restanti parti dell'ipocausto (*pilae* e *suspensurae*) vennero sistematicamente rimosse nella Fase II, quando l'intero ambiente venne colmato di terra per impostare il nuovo livello pavimentale. Nella Fase I, sul lato meridionale dell'Ambiente 15, realizzata in fase con il primo impianto, si collocava un'abside semicircolare con una corda di 3,2 m. Ad est dell'Ambiente 15, invece, si situava un vano rettangolare, Ambiente 16. La planimetria così definita consente di identificare sul lato sud dell'Edificio B, in asse con l'entrata principale, il *caldarium*. L'impianto è quello di tipo pompeiano con *solium*, da identificare nel vano posto ad est, perpendicolare alla *schola labri* localizzata entro l'abside semicircolare a sud. Si tratta di una tipologia ben nota negli impianti termali sia pubblici che privati del mondo romano con una diffusione che riguarda particolarmente il periodo compreso tra il tardo I secolo a.C. ed i primi decenni del II d.C. (Bouet 2003: 44-51). Il riscaldamento del *caldarium* doveva avvenire certamente mediante un canale, poi tamponato nella Fase II, sul muro meridionale dell'Ambiente 12, e soprattutto tramite un *prae-furnium*, ancora da intercettare, che doveva collocarsi sul lato orientale del *solium*, Ambiente 16, forse presso quello che in Fase II venne trasformato in ingresso. Di contro, la *schola labri* non riceveva un riscaldamento diretto tramite un proprio *prae-furnium*, come invece avveniva talora negli impianti termali antecedenti al I secolo d.C. (Nielsen 1993: 158) (fig. 5).

Durante la Fase II (tardo II-III d.C.) si registra un significativo ampliamento dell'Edificio B e lo sdoppiamento dei percorsi termali (fig. 6). Questo fenomeno, che dobbiamo collegare ad un incremento delle utenze presso Santa Marta, prevede sia la costruzione di nuovi ambienti riscaldati che il cambiamento di destinazione funzionale di altri. Un ingresso si collocava ancora a nord, riutilizzando quello già attestato nella Fase I, con la sola differenza rappresentata dalla costruzione di due muri paralleli, realizzati con la medesima tecnica mista a corsi alternati di pietre sbazzate e tegole legate da malta (Bacchetta 2003: 97-98), che determinano un breve *ambitus* di accesso. Lungo la parte settentrionale del perimetrale occidentale dell'edificio fu realizzato un raddoppiamento del muro e venne addossata una struttura rettangolare, a sua volta suddivisa all'interno in un vano ad L, Ambiente 17, provvisto di ipocausto ed in altre due stanzette, Ambienti 18 e 19, divise da un tramezzo. In questo settore, lo scavo ha solo investigato il vano ad L, i cui pavimenti erano stati spoliati nel corso del V secolo d.C. Immediatamente a sud di questa nuova struttura, il perimetrale occidentale dell'edificio fu spaccato per realizzare un canale per il passaggio dell'aria calda connesso con un nuovo *prae-furnium*, che alimentava l'Ambiente 7, ora trasformato in ambiente caldo dotato di vaschetta absidata sul lato ovest, proprio a diretto contatto con il forno. Accessibile mediante l'Ambiente 7, in questa fase, era anche una seconda vaschetta absidata che invase lo

spazio dell'Ambiente 6. Si trattava certamente di una vasca riscaldata come mostrano i tubuli a sezione rettangolare lungo il muro, nascosti dalla malta idraulica che foderava la vasca. Il pavimento della vasca presenta una preparazione di cocchiopesto e due livelli di tegole poste in opera in modo tale da ridurre al minimo la larghezza dei giunti. Incerta è, invece, la funzione di un'altra possibile vaschetta che riutilizzava come pavimento il mosaico con motivo marino della Fase I. Tale vaschetta non presenta tracce di ipocausto né di tubuli. La funzione dell'Ambiente 6 dovette mutare nella Fase II in vestibolo-*apodyterium*. Da qui, forse come già nella Fase I, si accedeva all'Ambiente 8, che serviva da passaggio all'Ambiente 9. In questo ambiente dobbiamo probabilmente collocare il *frigidarium* durante questa fase. Esso era provvisto, come già forse nella Fase I, di una vaschetta presso l'angolo sud-orientale, mentre una seconda di forma absidata venne aggiunta sul lato nord, nuovamente sacrificando una parte dell'Ambiente 6. Internamente, la vaschetta è dotata di una banchina realizzata in tegole e mattoni frammentari, mentre il pavimento è costituito anche qui da grandi frammenti di tegole poste in opera in modo da ridurre al minimo la larghezza dei giunti.

Questo nuovo settore settentrionale dell'Edificio B presenta alcune problematiche per quanto concerne la definizione dei percorsi. Una volta entrati nel vestibolo-*apodyterium*, Ambiente 6, si poteva raggiungere, attraverso l'Ambiente 8, il *frigidarium*, Ambiente 9, ma qui il percorso doveva interrompersi, poiché pur nella parzialità dell'indagine in questo edificio non paiono esserci elementi che suggeriscano un accesso diretto al nuovo *caldarium*, fatto che sembrerebbe alquanto anomalo nella prassi balneare romana. A questo punto l'ipotesi che, al momento, ci pare più plausibile è quella di immaginare un settore settentrionale in cui il percorso termale doveva implicare il passaggio attraverso il vestibolo-*apodyterium*, quindi l'accesso agli ambienti riscaldati localizzati nella nuova struttura aggiunta ad ovest, Ambienti 17,18,19, e a seguire un percorso inverso per raggiungere il *frigidarium* situato sul lato opposto, ripassando per l'Ambiente 6.

In questa nostra lettura, il nuovo *caldarium*, Ambiente 7, non sembra avere fatto parte di questo percorso termale, ma piuttosto di quello che, attraverso ulteriori trasformazioni, venne a svilupparsi nella parte centro meridionale dell'Edificio B. Questo secondo percorso divenne fruibile mediante la realizzazione di un secondo ingresso nella parte meridionale del perimetrale est dell'edificio, laddove esso aveva una sporgenza. In questa porzione, vennero realizzate profonde modifiche che inclusero la completa trasformazione degli ambienti situati presso l'estremità meridionale. L'Ambiente 16, dove abbiamo ipotizzato la presenza di una vasca calda nella Fase I, venne trasformato in due ambienti, 20 e 21, mediante la realizzazione di un tramezzo. La funzione delle due stanze è chiara: l'Ambiente 20 costituiva il vestibolo d'ingresso, mentre l'Ambiente 21 venne usato come *apodyterium*. Dall'Ambiente 20 si passava direttamente nell'Ambiente 15 e da qui all'*apodyterium*. In questa seconda fase, l'Ambiente 15 venne completamente riqualificato e da *caldarium* divenne un *frigidarium*. Ciò implicò la rimozione di tutte le *pilae* e la tamponatura della conduttura per aria calda situata sul lato settentrionale. Il nuovo pavimento in tessellato ascrivibile all'età severiana (*infra*) venne realizzato su una preparazione fatta di piccoli ciottoli e malta a sua volta sovrapposto ad un deposito di terra che riempiva l'intero ipocausto. La struttura absidata sul lato meridionale, occupata nella Fase I dalla *schola labri*, venne ristretta e trasformata in vasca per acqua fredda, con pavimento in mosaico privo di motivi decorativi. Tale vasca doveva essere alimentata mediante una piccola cisterna di forma rettangolare rivestita di cocchiopesto ed addossata all'esterno dell'edificio lungo la porzione orientale del perimetrale sud. Lungo il perimetrale occidentale venne addossata una seconda vaschetta absidata. Dal *frigidarium*, il percorso proseguiva mediante un sistema apparentemente a sale parallele, per cui il primo ambiente che si raggiungeva doveva essere il *tepidarium*, Ambiente 12, a cui erano collegati sul lato orientale i due Ambienti 10-11, per i quali abbiamo ipotizzato una funzione come *unctoria* riscaldati. Dall'Ambiente 12, si accedeva ad un secondo *tepidarium*, Ambiente 13, sul cui lato sud si apriva il piccolo Ambiente 14, per il quale si è proposto, anche per la Fase I, la funzione di *sudatorium*. Il passaggio al nuovo *caldarium* con due vasche (una ad est ed una a nord) doveva poi avvenire necessariamente attraverso l'Ambiente 12.

Nella Fase III vennero aggiunte due aperture funzionali al percorso settentrionale. Dopo la costruzione della struttura con andamento a ferro di cavallo addossata al lato occidentale dell'Edificio A, infatti, l'ingresso nord all'Edificio B, pur rimanendo in uso, divenne particolarmente angusto. Per questa ragione, forse, si decise di realizzare, lungo il perimetrale orientale, una rampa di cocchiopesto, che seppur con delle lacune, doveva addossarsi al muro per una lunghezza di almeno 10 m. Due aperture piuttosto rudimentali vennero realizzate spaccando la specchiatura in reticolato del paramento in *opus mixtum* in corrispondenza degli Ambienti 8 e 9. Sulla rampa poggia l'estremità ovest della *fistula* in piombo, ancora parzialmente conservata *in situ*, che, con andamento sud-est/nordovest, si innestava nella cisterna e forse conduceva





8 Santa Marta (Cinigiano, GR). Edificio B, dettaglio del rapporto tra tubuli e mosaico nell'Ambiente 12.

l'acqua nella vaschetta di forma absidata posta sul lato nord del *frigidarium*, Ambiente 9. Il bollo sulla fistula (*infra*) databile al tardo III secolo d.C. fornisce solo un *terminus ante quem* per la realizzazione della rampa, mentre la reale datazione delle due aperture, che considerata la loro quota potevano essere accessibili solo a seguito della costruzione della rampa, rimane incerta ma sicuramente inquadrabile nel pieno III secolo d.C. In generale, tuttavia, non è da escludersi che queste aperture più che collegarsi direttamente al percorso termale ufficiale, avessero la funzione di ingressi di servizio (figg. 4 e 7).

EV

### 3. 3. Impianti di riscaldamento

#### 3. 3. 1. Gli ipocausti

La tecnica costruttiva impiegata per realizzare gli ipocausti può essere ben osservata nel blocco centrale di ambienti riscaldati dell'Edificio B, dove è possibile ricostruire l'intera sequenza strutturale dalla pavimentazione dell'ipocausto fino al soprastante tessellato. Il piano su cui si impostano le *pilae*, costituite da una serie di bessali perfettamente impilati, è realizzato mediante l'impiego di tegole piane prive delle alette. Le *pilae*, a loro volta, sostengono la *suspensura*, costituita da due livelli di bipedali sovrapposti, sui quali è steso uno strato di cocciopesto per la posa in opera del soprastante pavimento a mosaico. La sequenza così ricostruita mostra un'altezza complessiva stimabile in 72/73 cm. Il riscaldamento delle pareti era ottenuto mediante l'impiego di tubuli a sezione rettangolare; essi erano posti in opera a partire dal livello più basso dei bipedali, in modo da creare un'intercapedine che partendo dalla *suspensura* corresse lungo tutta la parete, veicolando verso l'alto l'aria calda che circolava nell'ipocausto (fig. 8). In entrambi gli edifici si è osservata la frequente presenza sui tubuli di strigilature con motivi a graticcio realizzati a crudo sulla faccia che doveva poggiare sul muro per consentire alla malta di aderire meglio alla superficie. In alcuni casi sono presenti fori circolari laterali per la circolazione orizzontale, attraverso la parete, oltre che verticale dell'aria calda. La sola differenza degna di nota è data dalla presenza, in ambedue gli ambienti riscaldati dell'Edificio A, di una serie di tegole piane, anch'esse prive delle alette, poste in opera in verticale ed adiacenti le une alle altre a rivestire il paramento interno dell'ipocausto, forse con lo scopo di trattenere più efficacemente il calore ed allo stesso tempo garantire una maggiore durata dei mattoni del paramento esposti regolarmente ad aria molto calda (fig. 9).

EV



9 Santa Marta (Cinigiano, GR). Edificio A, vista generale da est degli ipocausti degli Ambienti 4 e 5, al momento del loro rinvenimento nel 2013.

### 3.4. Elementi decorativi presenti

#### 3.4.1. I mosaici di Santa Marta

Per ragioni di spazio risulta impossibile descrivere e discutere nel dettaglio tutti i lacerti di tessellato provenienti dagli edifici A e B. Pertanto si intende proporre solo una presentazione preliminare delle loro caratteristiche e cronologie, concentrandoci esclusivamente su quelli che offrono indicazioni preziose per la definizione delle Fasi edilizie principali individuabili nel complesso di Santa Marta.

##### *Ambiente 2, Edificio A (Fase II)*

Mosaico realizzato con tessere di forma quadrangolare e rettangolare, di dimensioni abbastanza regolari generalmente comprese tra 0,7 ed 1 cm (fig. 10). Il fondo all'esterno del motivo geometrico policromo è di colore blu chiaro. Il motivo geometrico, contenuto all'interno di una cornice bianca rettangolare, non è perfettamente centrato all'interno dell'ambiente, ma leggermente spostato verso ovest, così da potere essere visibile solo una volta entrati nella stanza dall'ingresso presso l'angolo nord-orientale. Il motivo decorativo presenta una bordura in tricromia costituita da una serie di semicerchi adiacenti e secanti che vengono a costituire un'alternanza di squame ed ogive. Le prime di colore blu, le seconde di colore giallo, mentre lo spazio compreso tra la cornice bianca ed i semicerchi è campita con tessere rosse. Seguono quindi una cornice di colore rosso ed un'altra, più stretta, con tessere bianche. All'interno di quest'ultima si sviluppa una fascia a triangoli isosceli giustapposti e contigui in colori contrastanti bianco e giallo. Segue un'ulteriore cornice monocroma rossa che contiene uno pseudo-scudo suddiviso dalle diagonali in quattro settori: i settori sono sempre costituiti da triangoli isosceli giustapposti e contigui in colori contrastanti, mentre le diagonali sono definite da linee di spine policrome con colori che variano sistematicamente da una fascia all'altra procedendo verso l'interno. La lacunosità del tessellato impedisce di comprendere come si completasse la composizione, ma è plausibile che terminasse in un quadrato o in un rettangolo costruito sulle diagonali. Il motivo appena descritto trova un puntuale confronto in un pannello bicromo da un mosaico dal sito di Saint-Colombe (Gallia Narbonese) datato tra 150 e 175 d.C. (Lancha 1981: 183-186, n.350). Nel nostro caso, tuttavia, l'uso della policromia e le caratteristiche della bordura in tricromia con fila di squame ed ogive, suggerisce una datazione non anteriore al III secolo d.C. (Bueno 2011: 221-222). Una parte del mosaico sarà successivamente riutilizzata (Fase III) come pavimento della vasca absidata collegata alla trasformazione dell'Ambiente 3 in *frigidarium* con vasca.



10 Santa Marta (Cinigiano, GR). Edificio A, il mosaico di Fase II dell'Ambiente 2, successivamente riusato come pavimento della vasca del *frigidarium* con vasca, Ambiente 3 bis.

#### *Ambiente 6, Edificio B (Fasi I e II)*

Questo ambiente è il solo che permette di leggere una stratificazione di mosaici messa in luce dalle profonde arature. Il lacerto più antico si conserva nella porzione sud-orientale del vano ed è rappresentato da un motivo figurato di carattere marino contenuto da una cornice nera della larghezza di 1,6 m e della lunghezza non ricostruibile. Il fondo è prevalentemente a tessere bianche, mentre le figure sono campite in nero, con i dettagli anatomici resi in bianco. Le tessere della cornice e quelle al suo interno sono di forma quadrangolare e rettangolare, con una larghezza oscillante tra 0,5 e 0,6 cm e mai superiore ad 1 cm. Lungo i muri, invece, tendono ad assumere una forma rettangolare allungata con misure generalmente di 2/2,2 cm x 0,8/1 cm. Qui, il colore delle tessere è bianco in prevalenza ma vi si osserva la presenza, con distribuzione irregolare, di tessere nere di analoghe dimensioni. Questa difformità tra la parte più esterna del mosaico e quella in corrispondenza della cornice e del motivo figurato in essa contenuto potrebbe essere spia di un restauro del tessellato nella fascia lungo i muri. Tra gli animali marini presenti nel lacerto, il solo riconoscibile è una seppia, a cui si aggiungono due code di cui una riferibile ad un generico pesce ed una forse attribuibile ad un delfino. Questo tessellato, sulla base di criteri stilistici, può essere collocato nella prima metà del II secolo d.C., momento in cui si registra la realizzazioni di simili mosaici in vari siti, sia urbani che rurali, della Toscana, con una particolare concentrazione di attestazioni nella vicina città di Roselle (per i confronti: Bueno 2011: 346-349). Il mosaico con scena marina è coperto da un più tardo mosaico con motivo geometrico policromo, di cui un ampio lacerto occupa la parte centrale della stanza (fig. 11). Lo strato di preparazione di questo mosaico rispetta i limiti delle vaschette che vennero inserite all'interno dell'Ambiente nella Fase II e pertanto deve riferirsi a questa fase o ad un intervento successivo. Il mosaico impiega tessere piuttosto eterogenee di forma prevalentemente quadrangolare, la cui larghezza varia da poco oltre 1 cm a 2 cm. Il motivo è costituito da un meandro di svastiche a giro doppio e quadrati, con una vivace policromia nei colori del blu, del rossastro, del celeste e del giallo. La posizione stratigrafica del mosaico suggerisce una datazione ad un momento successivo alla prima metà del II secolo d.C., ma risulta difficile comprendere più precisamente se esso sia stato realizzato nel III o nel IV secolo d.C.

#### *Ambiente 9, Edificio B (Fase II)*

L'Ambiente 9 misura 4,6 x 4,4 m, ma il mosaico di forma rettangolare ne occupava solo la porzione centro-settentrionale (fig. 12). Di esso le arature hanno distrutto tutta la parte occidentale, lasciandone intatto circa metà. Le dimensioni complessive dell'intero mosaico possono essere stimate in 3 x 4,4 m;



11 Santa Marta (Cinigiano, GR). Edificio B, sovrapposizione di mosaici di Fase I e di Fase III dall'Ambiente 6.

esso si estende anche sulla soglia che consente il collegamento tra gli Ambienti 8 e 9, dove, nonostante il livello di conservazione parziale e le incrostazioni calcaree, si osserva parte di una cornice rettangolare con tessere di colore blu scuro. All'interno dell'Ambiente 9, il motivo figurato è racchiuso da una cornice composta da tre sezioni: la più esterna, di colore blu scuro, presenta un motivo a frange, la mediana, lineare, è di colore bianco-rosato, mentre la più interna, ancora lineare, è blu scura. L'ingombro della cornice è stimabile in 3,85 x 2,45 m sulla base della ricostruzione digitale a partire dalle porzioni conservate. La cornice appare ben centrata all'interno della porzione centro-settentrionale dell'ambiente. I colori delle tessere sono essenzialmente tre: bianco-rosato per il fondo e per i dettagli anatomici delle figure all'interno della scena e blu scuro per le cornici e le figure, a cui si aggiunge il colore celeste delle tessere che intervallano quelle blu di figure e cornici e che sembrano funzionali a rendere le sfumature. Le dimensioni delle tessere variano notevolmente sia per forma che per dimensioni. Quanto alla forma possono essere quadrangolari, rettangolari, trapezoidali e triangolari, con quelle chiare usate per i dettagli anatomici che presentano uno o più lati tagliati molto obliqui. Le dimensioni, molto variabili, oscillano da circa 0,5 x 0,7 cm a 2,2 x 2,2 cm. La forma delle tessere chiare allungate e con spigoli marcati usate per i dettagli anatomici risponde perfettamente ad una resa impressionistica dei volti e soprattutto dei corpi. Il soggetto mitologico scelto per il mosaico è di grande interesse. Nonostante se ne conservi solo la metà, si tratta della scena dell'incontro tra Marte e Rea Silvia, episodio legato al concepimento dei gemelli Romolo e Remo e quindi alla nascita di Roma. Il mosaico dell'Ambiente 9, infatti, sia pur nel suo stato di conservazione parziale che ci priva della figura di Marte, mostra, oltre a Rea Silvia conservata almeno per metà, altri quattro personaggi ed un oggetto. La lacuna di sinistra doveva essere occupata principalmente dalla figura di Marte che, forse, avanzava camminando o stava atterrando più che giungere in volo, come sembrerebbe più appropriato per l'iconografia che diviene comune tra II e III secolo d.C. (Albertson 2012: 87-88). Di Marte è, forse, possibile riconoscere una porzione dello scudo dietro a Cupido. Quest'ultimo, in volo, si frappone tra Marte e Rea Silvia, tiene nella sinistra una torcia e con la destra le solleva la veste scoprendone il seno. Rea Silvia è in posizione reclinata, con il braccio destro tipicamente piegato e proteso attorno alla testa. L'oggetto di forma pseudo-globulare di fronte a lei deve essere evidentemente la brocca che la sacerdotessa aveva portato con sé per prendere l'acqua come richiesto dal culto e che le cade di mano nel momento in cui viene sorpresa da Marte. La figura a destra, barbata, siede forse su una roccia, tiene la gamba destra piegata ed il piede appoggiato direttamente sulla seduta, la gamba sinistra è piegata in maniera più composta ed il piede sinistro tocca il terreno, il braccio destro è piegato e la mano è rivolta verso il volto, con il braccio sinistro, infine, si appoggia



12 Santa Marta (Cinigiano, GR). Edificio B, mosaico di Fase II dall'Ambiente 9.

ad una brocca da cui esce dell'acqua (ad indicare un'entità associata all'acqua), mentre tiene nella sinistra un giunco palustre. Questa figura è identificabile con la personificazione del *Lucus Martis* o del Tevere, elemento, quest'ultimo, che, come Cupido, viene introdotto nell'iconografia dell'incontro tra Marte e Rea Silvia, solo a partire dall'età tardo-adrianea e primo-antonina (Albertson 2012: 89-97). Due figure gemelle, affrontate in alto, risultano appena sottodimensionate rispetto ai personaggi che compongono la scena principale e sono raffigurate solo dalla vita in su, mentre il resto del corpo è nascosto dietro ad un piano che pare alludere a rocce. Il personaggio di sinistra si conserva solo in parte e manca completamente della testa, quello di destra, invece, è conservato per intero e presenta alcune caratteristiche che ne consentono l'identificazione con un pastore: il copricapo a falde larghe, *petasos*, ed il bastone con estremità ricurva, *pedum*, nella mano destra. È plausibile che entrambi i personaggi qui rappresentati siano pastori; i loro corpi inclinati all'indietro, il braccio destro portato in alto dell'uno e quello sinistro piegato e portato indietro dell'altro paiono denotare una reazione di stupore per qualcosa che si sta osservando. Poco più in basso, in mezzo ai due, si osservano cinque linee leggermente divergenti tra di loro che potrebbero alludere ad acqua che fluisce, richiamando ancora il *setting* fluviale/palustre della scena. La complessità e varietà degli elementi presenti nella scena suggeriscono una datazione piuttosto avanzata di questo mosaico, probabilmente da assegnare a non prima del periodo compreso tra la tarda età antonina e quella severiana, con la seconda ancor più probabile. Una datazione a non prima del tardo II-decenni iniziali del III secolo d.C. si basa dunque sulla ricchezza della composizione e su alcuni elementi iconografici. Tra di essi risulta degno di nota il Cupido che porta la torcia e, allo stesso tempo, solleva la veste di Rea Silvia e che trova un confronto puntuale in un sarcofago del 200 d.C. da Grottaperfetta, fuori Roma (Albertson 2012: 169, n. 42, Plate XX, Fig. 41). A ciò si aggiunge la posizione delle gambe piegate della figura seduta di incerta identificazione posta in alto a destra sul pannello a rilievo di uno dei lati corti del sarcofago Mattei A datato tra 225 e 230 d.C., in cui è rappresentata la scena che prelude alla morte di Rea Silvia (Albertson 2012: 170, n. 44, Plate XVII, Fig. 36), che presenta un preciso parallelismo con quella della personificazione del Tevere/*Lucus Martis* del mosaico di Santa Marta. Sul pannello che decorava l'altro lato corto del medesimo sarcofago Mattei A è rappresentata, invece, la scena della lupa che allatta i gemelli all'interno della grotta. Al di sopra del Lupercale, reso mediante un arco sono presenti due figure contrapposte di pastori, rappresentati dalla vita in su, sia negli attributi (*petasos* e *pedum*), che, nella posizione affrontata e nel gesto di stupore (Albertson 2012: 170, n. 44, Plate XVII, Fig. 35), richiamano chiaramente i due pastori del mosaico di Santa Marta. Il mosaico, pur rifacendosi ai caratteri dell'iconografia dell'incontro tra Marte e Rea Silvia che erano venuti definendosi a cavallo tra tardo II ed inizio



13 Santa Marta (Cinigiano, GR). Edificio B, mosaico di Fase II dall'Ambiente 15.

III secolo d.C., introduce una serie di elementi di novità che lo rendono unico, tra di essi la particolarità della personificazione di *Lucus Martis*/Tevere e, soprattutto, la presenza delle figure dei due pastori, che pur essendo strettamente collegati alla leggenda delle origini ed al ritrovamento dei gemelli, non hanno un legame diretto con l'episodio dell'incontro tra Marte e Rea Silvia. Ciò sembra suggerire che il mosaicista avesse in mente due scene distinte del mito delle origini di Roma, ovvero quella del concepimento dei gemelli e quella del loro ritrovamento mentre venivano allattati dalla lupa. Pertanto, l'elemento dei pastori, mutuato dal mito della *Lupa Romana*, viene inserito nel mosaico, verosimilmente in maniera intenzionale, per alludere proprio alla nascita ed al successivo ritrovamento e salvataggio di Romolo e Remo. Il prototipo di riferimento per il mosaicista di Santa Marta potrebbe, quindi, essere stato simile a quello che aveva ispirato lo scultore del sarcofago Mattei A, dato che potrebbe consentirci di spingere la datazione in piena età severiana.

#### *Ambiente 15, Edificio B (Fase II)*

Sempre al III secolo, o più precisamente all'età severiana, possiamo attribuire il lacerto musivo conservato lungo l'estremità orientale dell'Ambiente 15 (fig. 13). Questo mosaico si riferisce con sicurezza alla trasformazione dell'ambiente in *frigidarium*, come dimostrano sia la sequenza stratigrafica al di sotto del tessellato, che la totale continuità tra questo lacerto ed i pavimenti a mosaico con decorazioni geometriche che caratterizzano i nuovi Ambienti 20 e 21, realizzati durante la Fase II e coevi con il nuovo *frigidarium*. Una fascia che corre lungo tutto il lato est dell'ambiente, la cui larghezza è stimabile in circa 1,9 m nel punto in cui il lacerto è meglio conservato, si caratterizza per un motivo geometrico, la cui lettura è resa complessa dalle incrostazioni calcaree, ma che appare costituito da squame affusolate bipartite adiacenti, rese con quattro colori contrastanti (blu scuro e bianco/rosato in prevalenza, ma anche rosso e celeste), a formare una composizione romboidale (Balmelle *et al.* 1985: 339, Planche 218c; per confronti in Toscana, Bueno 2011, 339-341, in particolare DMq18b). Il motivo delle squame affusolate bipartite in colori opposti ritorna in voga nel II secolo d.C., dopo una certa fortuna in età tardo-repubblicana, ma conosce la sua massima diffusione durante l'età severiana (Bueno 2011, 340). Questa fascia costituiva il bordo orientale di un motivo decorativo posto al centro della stanza di cui si conserva solo una limitatissima porzione della cornice bicroma.

EV



14 Santa Marta (Cinigiano, GR). *Fistula plumbea* con nome di *Iunia Calliena* dal corridoio tra la cisterna e l'Edificio B (foto e calco dell'iscrizione).

### 3. Appendice. Conduittura d'acqua col nome della *c(larissima) f(emina) Iunia Calliena*

Nella parte occidentale del corridoio ad L che collegava la cisterna occidentale all'Edificio B sono stati rinvenuti due tratti di fistula in piombo. Il primo, *in situ*, corre con andamento sud/est-nord/ovest dalla cisterna verso gli ambienti freddi situati nella parte nord dell'edificio, mentre il secondo era tra i materiali del crollo che obliterava il corridoio.

1. Tratto di *fistula* in piombo *in situ* (fig. 14): lunghezza m 2,4, diametro massimo m 0,08. Specchio epigrafico (m 0,545 x 0,055), delimitato da un listello a rilievo, mancante a destra. Lettere rilevate e abbastanza regolari, alte cm 4-6,4; segni d'interpunzione circolari; all'inizio e alla fine della riga un ramo di palma con funzione ornamentale.

((ramus palmae)) *Iunie* (!) *Calliene* (!), *c(larissimae) f(eminae)* ((ramus palmae)).

2. Tratto di *fistula* in piombo dal crollo: deformata e contorta, con numerose lacune; diametro massimo m 0,08. Specchio epigrafico delimitato da un listello a rilievo, mancante in più punti. Lettere rilevate e abbastanza regolari, alte 4-6,4 cm; segni d'interpunzione circolari; all'inizio della riga un ramo di palma con funzione ornamentale.

((ramus palmae)) *Iuni[e* (!) *Callien[e* (!), *c(larissimae) f(eminae)* ((ramus palmae))).

In entrambi gli elementi vi è un ampio spazio vuoto dopo le prime due lettere, dovuto a un errore nella preparazione della matrice utilizzata per realizzare l'iscrizione (Priuli 1986: 188; un caso simile è in *CIL*, XI, 733). In tutti e due i tratti compare la forma *Iunie Calliene* per *Iuniae Callienae*, testimonianza del fenomeno, molto frequente a partire dalla seconda metà del II secolo d.C., di monottongazione del dittongo *ae* in *e* (Väänänen 1974: 94-95). La conduittura, di cui facevano parte questi due tratti di *fistula*, riporta, dunque, il nome del personaggio che aveva la concessione di portare l'acqua pubblica nelle sue proprietà. Si tratta di *Iunia Calliena*, una donna appartenente all'ordine senatorio, come indica la presenza della formula *c(larissima) f(emina)* (Raepsaet-Charlier 1981), non altrimenti nota, ma sicuramente imparentata (sorella? figlia? nipote?) col senatore *Iunius Callienus*. Quest'ultimo è menzionato come *v(ir) c(larissimus)*, *pater patrum*, *pontifex dei Solis Invicti* e *curator Laurentium Lavinatium* (*PIR2*, *Iunius*, 755 = *PLRE*, I, 384, *Iunius Gallienus* 2; Rüpke, Glock 2005: 1081, nr. 2115), su un'iscrizione rinvenuta a *Lavinium*, dove si ricorda che egli si occupò del trasporto e dell'erezione in luogo pubblico di una statua che giaceva abbandonata in un'*obscurus locus* (*CIL*, XIV, 2082 = *SupplIt, Imagines, Latium Vetus*, 1, 2005, n. 29 = *EDR106797*). Il fatto che egli sia un *pontifex dei Solis Invicti* consente di proporre una datazione dal 275, anno in cui Aureliano istituì questo collegio (*Hist Aug., Div. Aurel.*, 35, 3) alla fine del III secolo d.C. In tale arco di tempo si potrebbe anche, con tutta probabilità, collocare la concessione d'acqua ottenuta da *Iunia Calliena*.

AB

#### 4. Problematiche aperte

Lo scavo nell'area degli Edifici A e B si è sinora principalmente concentrato sulla comprensione delle planimetrie generali e sulle fasi tardoantiche legate ai riusi ed agli abbandoni. I percorsi termali all'interno dei due edifici, sia pure a fronte di trasformazioni, sembrano essere rimasti in uso per tutto il periodo compreso tra II ed inizio V secolo d.C. Ciò che emerge con chiarezza, alla luce dei dati attualmente disponibili, è una sorta di sovradimensionamento della componente termale all'interno del complesso sinora indagato. Se, da un lato, l'Edificio A potrebbe avere ospitato anche una parte residenziale, da ricercare nella sua porzione centrale in parte distrutta dal passaggio del canale scavato nel secolo scorso, è, invece, evidente che l'Edificio B ebbe, sin dalla sua fondazione, una funzione esclusivamente termale. Se anche una parte dell'Edificio A avesse incluso spazi domestici, occorrerebbe capire a chi fossero destinati. Per essi, infatti, non ci sentiamo di escludere una destinazione privata, piuttosto che pubblica almeno nella Fase I, anche alla luce delle caratteristiche del *balneum* che non sembra essere dotato di *frigidarium* fino alla Fase III. Necessita pertanto capire, data la nostra lettura del complesso come stazione di sosta, dove possano ubicarsi le strutture destinate sia al personale che operava nelle terme, che, soprattutto, ai viandanti. Quello dell'accoglienza rappresenta, del resto, uno dei principali indicatori per identificare un sito come stazione di sosta (Corsi 2000: 169-189; Zanini 2016: 72-73). Poiché il complesso rappresentato dagli Edifici A, B e dalla cisterna risulta al momento isolato da altre eventuali strutture coeve, come dimostrano alcune trincee scavate sia immediatamente ad est che ad ovest, sarà necessario indirizzare l'indagine verso altre aree del sito nel tentativo di intercettare gli edifici che potevano espletare la funzione dell'accoglienza. Nella porzione settentrionale dell'insediamento, a circa 80 m dagli Edifici A e B, laddove si è scavata parte del nucleo tardo-repubblicano e primo-imperiale, è presente una chiara anomalia geofisica di forma rettangolare, pari a circa 2300 mq, di cui solo una parte è stata indagata. Non possiamo pertanto escludere che strutture coeve con gli Edifici A e B e legate alla stazione di sosta medio e tardo-imperiale possano collocarsi proprio nelle aree adiacenti il sito tardo-repubblicano. Altra area che potenzialmente potrebbe fornire interessanti novità relative al complesso di II-V d.C. è quella dove insiste la chiesa romanica di Santa Marta, posta 60 m a nord-est dall'Edificio A. Qui, lo scavo ha sinora messo in luce l'intera sequenza che, a ritroso, riguarda la cappella funeraria bassomedievale e di età moderna, la pieve di tardo XI-XII d.C., sino alla chiesa triabsidata che predata il pieno IX-X secolo d.C. È possibile, secondo un modello ben evidenziato in vari contesti della Penisola e, più in generale, del Mediterraneo occidentale, che la localizzazione della chiesa tardoantica-altomedievale possa insistere su preesistenti strutture monumentali romane (Brogiolo 2003).

Nel proseguo delle ricerche sarà necessario approfondire le indagini di scavo sia all'interno che immediatamente all'esterno degli Edifici A e B per poter definire e datare più precisamente la successione in fasi e verificare se l'intero complesso, come sembra al momento, fu il frutto di un progetto unitario. A tale proposito sarà fondamentale collocare con più precisione la fondazione dei due edifici e della cisterna, poiché la nostra Fase I si basa, al momento, esclusivamente sulle informazioni desunte dalle tecniche murarie e dal mosaico con motivo marino dall'Ambiente 6 dell'Edificio B. L'approfondimento dello scavo sarà fondamentale per comprendere la funzione specifica di alcuni ambienti, la ricostruzione dei percorsi e le loro eventuali trasformazioni nel lungo periodo in cui gli impianti termali vennero utilizzati. Infine, la ricerca dovrà muoversi a livello della macro-scala, al fine di tentare di ricostruire, mediante *remote sensing*, analisi GIS e prospezioni, il tracciato della strada che collegava le grandi direttrici del *cursus publicus* tra costa ed interno e che sembra costituire la principale ragione degli sviluppi di Santa Marta tra II e V secolo d.C.

SC, EV

#### 5. Conclusioni

Il nucleo costituito dagli Edifici A e B e dalla cisterna rappresenta probabilmente parte di un più ampio complesso 'diffuso' che si sviluppò a Santa Marta a partire dagli inizi del II secolo d.C., del quale al momento riusciamo a cogliere solo la componente più monumentale. L'occupazione di lunga durata del sito, almeno a partire dal II/I a.C., ed in particolare il suo sviluppo medio e tardo-imperiale sembrano collegarsi alla favorevole posizione lungo un asse viario che raccordava la fascia costiera e le aree interne della Toscana meridionale. Dopo il precoce abbandono del sito tardo-repubblicano, sembra potersi individuare una cesura tra la metà e la fine del I secolo d.C., a cui seguì una completa ridefinizione insediativa a partire dai decenni iniziali del secolo successivo. L'esistenza di un ampio edificio (B), interamente



riservato ad uso termale sin dalla Fase I di prima metà II secolo d.C., lascerebbe ipotizzare che il complesso sia stato concepito per svolgere (anche) la funzione di stazione di sosta. Le dimensioni iniziali dell'Edificio B, 230 mq, e la posizione di Santa Marta in un'area che proprio in età medio-imperiale conobbe un decremento massiccio dei piccoli insediamenti rustici rispetto al I a.C. - I d.C. suggerisce una destinazione pubblica indirizzata non tanto ad un'utenza locale, ma piuttosto ai viandanti che percorrevano l'asse stradale costa-interno. Il sito costituì per tutto il medio e tardo-impero un vero e proprio *central place* all'interno del proprio contesto territoriale, ponendosi probabilmente al centro di una grande proprietà privata. Chi investì nello sviluppo monumentale di Santa Marta e soprattutto nella realizzazione dei *balnea* dovette farlo tenendo ben presenti le opportunità di guadagno derivanti dal passaggio regolare di persone lungo questo tracciato stradale. Più complesso, al momento, definire la funzione specifica dell'Edificio A, il cui *balneum*, esistente sin dalla Fase I, avrebbe potuto avere, almeno inizialmente, una funzione privata piuttosto che pubblica. È possibile, infatti, che almeno fino al III secolo d.C., l'Edificio A, possa avere svolto la funzione di residenza privata con proprio impianto termale. Informazioni sulla proprietà sono disponibili per il tardo III secolo d.C., grazie ai due tratti di *fistula* di piombo recanti il nome di un personaggio femminile facente parte dell'ordine senatorio di nome *Iunia Calliena*. Nonostante la lettura complessiva degli sviluppi edilizi e dei percorsi termali risulti ancora preliminare, è invece chiaro che la componente termale di Santa Marta crebbe ulteriormente tra III e IV secolo d.C. (Fasi II e III). Ciò non avvenne attraverso un progetto organico che prevede la realizzazione ex-novo di uno o più nuovi impianti, ma piuttosto mediante l'aggiunta di ambienti a quelli preesistenti ed il cambiamento di funzione di altri all'interno della definizione di nuovi circuiti termali. Si tratta di un processo di crescita che, tra II e III secolo d.C., vediamo in atto nei *balnea* di altre stazioni di sosta dell'Italia romana dove il risultato finale è l'agglutinamento di ambienti ed edifici termali in uso simultaneamente per rispondere alle necessità dei viaggiatori di lavarsi *more urbico* anche nelle campagne (Medri 2016). A Santa Marta, questo processo è ben evidente all'interno dell'Edificio B, dove la Fase II coincide oltre che con la realizzazione di nuovi ambienti riscaldati, anche con il raddoppiamento dei percorsi. Il processo di trasformazione del sito di Santa Marta mostra un'ulteriore enfaticizzazione della componente termale nel corso del pieno III-IV secolo d.C., quando il *balneum* dell'Edificio A si dotò di un *frigidarium* con vasca. È, inoltre, probabile che si debba attribuire sempre a questa fase la realizzazione, sul lato occidentale dell'Edificio A, della struttura con andamento a ferro di cavallo che delimitò un piazzale in asse con la strada che raggiungeva il sito. L'aggiunta di questa struttura potrebbe indicare la necessità di incrementare gli spazi destinati alla prima accoglienza ed al ricovero degli animali usati per il trasporto. La defunzionalizzazione dei *balnea* agli inizi del V secolo d.C., non coincide con l'abbandono del complesso. Se l'Edificio B mostra limitate tracce di attività di spoliazione anteriori al definitivo crollo a cavallo tra metà V ed i primi decenni del VI secolo d.C., sia all'interno che attorno all'Edificio A, tali attività sembrano essere proseguite per gran parte del VI secolo, ad eccezione dell'Ambiente 1 dove le ultime frequentazioni si collocano nella prima metà del VII d.C.

EV, SC

### Abbreviazioni bibliografiche

Adam J.P. 201411, *L'arte di costruire presso i romani. Materiali e tecniche*, Milano.

Albertson F.C. 2012, *Mars and Rhea Silvia in the Roman Art*, Bruxelles.

Bacchetta A. 2003, *Edilizia rurale romana. Materiali e tecniche costruttive nella Pianura Padana (II sec. a.C.-IV sec. d.C.)*, Firenze.

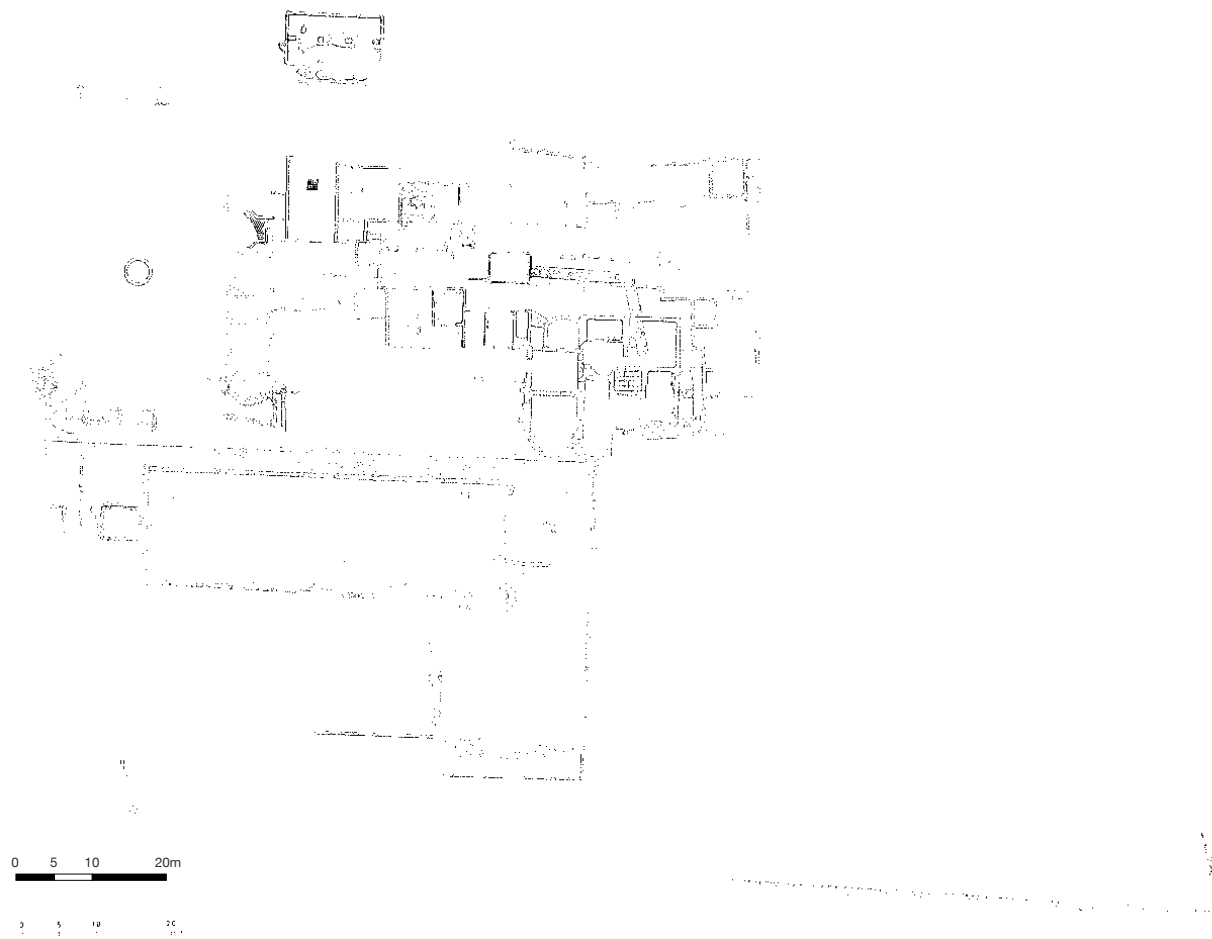
Balmelle *et al.* 1985, Balmelle C., Blanchard-Lemée M., Christophe J., Darmon J.-P., Guimier-Sorbets A.-M., Lavagne H., Prudhomme R., Stern H., *Le Décor Géométrique de la Mosaïque romaine. Répertoire graphique et descriptif des compositions linéaires et isotropes*, Parigi.

Bouet A. 2003, *Les thermes privés et publics en Gaule Narbonnaise*, Roma.

Brogio G.P. (a cura di) 2003, *Chiese e insediamenti nelle campagne tra V e VI secolo*, Mantova.

Buono M. 2011, *Mosaici e pavimenti della Toscana: II secolo a.C.-V secolo d.C.*, Roma.

- Campana S. 2001, *Murlo, Carta Archeologica della Provincia di Siena*, vol. V, Siena.
- Campana S. 2013, *Montalcino, Carta Archeologica della Provincia di Siena*, vol. XII, Siena.
- CIL = *Corpus inscriptionum Latinarum*, Berolini 1863- .
- Corsi C. 2000, *Le Strutture di Servizio del Cursus Publicus in Italia. Ricerche Topografiche ed Evidenze Archeologiche*, Oxford.
- De Franceschini M. 2005, *Ville dell'Agro Romano*, Roma.
- Fabbricotti E. 1976, *I bagni nelle prime ville romane*, «Cronache Pompeiane», 2, pp. 29-111.
- Felici C. 2004, *Pienza, Carta Archeologica della Provincia di Siena*, vol. VI, Siena.
- Felici C. 2012, *San Giovanni d'Asso, Carta Archeologica della Provincia di Siena*, vol. X, Siena.
- Ghisleni M. 2009, *Il sito di Santa Marta nel contesto delle dinamiche insediative di età romana, tardo antica e medievale della media valle dell'Ombro (Cinigiano-GR)*, in G. Volpe (a cura di), *SAMI V*, Firenze: pp. 243-247.
- Ghisleni M., Vaccaro E., Bowes K. 2011, *Excavating the Roman Peasant I: Excavations at Pievina*, «PBSR», 79, pp. 95-145.
- Giuliani C.F. 20083, *L'edilizia nell'antichità*, Roma.
- Lancha J. 1981, *Recueil général des mosaïques de la Gaule, III, Province de Narbonnaise*, Parigi.
- Lugli G. 1957, *Tecnica edilizia romana*, Roma.
- Medri M. 2016, *Lavarsi in viaggio e in albergo: alcune osservazioni sui balnea per i viaggiatori*, in P. Basso, E. Zanini (a cura di), *Statio Amoena. Sostare e vivere lungo le strade romane*, Oxford, pp. 91-109.
- Nielsen I. 1990, *Thermae et balnea. Architecture and cultural History of Roman Public Baths*, I-II, Aarhus.
- PIR<sup>2</sup> = *Prosopographia Imperii Romani saec. I. II. III.*, 2° ed., Berolini et Lipsiae 1933- .
- PLRE = *The Prosopography of the Later Roman Empire*, 1-3, Cambridge 1971-1992.
- Priuli S. 1986, *Le iscrizioni sulle fistulae*, in G. Pisani Sartorio, A. Liberati Silviero (a cura di), *Il trionfo dell'acqua: acque e acquedotti a Roma. IV sec. a.C. - XX sec.*, Roma, pp. 187-195.
- Raepsaet-Charlier M.-Th. 1981, *Clarissima femina*, in «Revue Internationale de Droit de l'Antiquité », 28, pp. 189-212.
- Rüpke J., Glock A. 2005, *Fasti sacerdotum*, 2, *Biographien*, Stoccarda.
- SupplIt = *Supplementa Italica*, nuova serie, Roma 1981-.
- Väänänen V. 1974, *Introduzione al latino volgare*<sup>2</sup>, Bologna 1974.
- Vaccaro E. 2011, 2011. *Sites and Pots: Settlement and Economic Patterns in Southern Tuscany (AD 300-900)*, Oxford.
- Vaccaro E., Ghisleni M., Arnoldus-Huyzendveld A., Grey C., Bowes K., MacKinnon M., Mercuri A.M., Pecci A., Cau Ontiveros M.A., Rattigheri E., Rinaldi R. 2013, *Excavating the Roman peasant II: excavations at Case Nuove, Cinigiano (GR)*, «PBSR», 81, pp. 129-179.
- Valenti M. 1995, *Il Chianti senese, Carta Archeologica della Provincia di Siena*, vol. I, Siena.
- Zanini E. 2016, *Qualche appunto per un'archeologia contestuale delle stazioni di sosta nel mondo romano e tardo-antico*, in P. Basso, E. Zanini (a cura di), *Statio Amoena. Sostare e vivere lungo le strade romane*, Oxford, pp. 71-79.



1 *Signia* (Segni, FR). Complesso termale. Planimetria generale.



2 *Signia* (Segni, FR). Complesso termale. Localizzazione in Google Earth (Segni RM – 41°43'58.32"N; 13°02'58.35"E).